

# Basidiomicets del Parc Natural de la serra de Mariola (l'Alcoià i el Comtat, Alacant, i Vall d'Albaida, València). III.

ANTONI CONCA FERRÚS<sup>(1)\*</sup> I FRANCESC DE PAULA MARTÍNEZ TOLOSA<sup>(2)</sup>

(1) P. Poeta Joan Vimbodí 5, E-46870 Ontinyent, València. E-mail: tconca@gmail.com

(2) C/ Xàtiva 26, E-46814 Granja de la Costera, València. E-mail: afedepekant@hotmail.com

\* Autor per a la correspondència

---

**Resum.** CONCA, A. & MARTÍNEZ, F.P. (2021). Basidiomicets del Parc Natural de la serra de Mariola (l'Alcoià i el Comtat, Alacant, i Vall d'Albaida, València). III. *Butll. Soc. Micol. Valenciana* 25: 41-106.

S'incorporen 45 nous tàxons al catàleg de *Basidiomycetes* del Parc Natural de la serra de Mariola. Es descriuen totes aquelles que representen novetat per a la micoflora valenciana o aquelles que considerem més interessants, entre elles remarquem: *Calocera furcata*, *Deconica microphila*, *Gymnopus aquosus*, *Hyphodermella corrugata*, *Leucoagaricus crystallifer*, *Marasmiellus brevisporus*, *Mycena corynephora*, *Mycena pseudoquerciphila*, *Mycena supina*, *Myxarium hyalinum*, *Perenniporia meridionalis*, *Phaeoclavulina quercus-ilicis*, *Radulomyces confluens*, *Saproamanita vittadinii*, *Scytinostroma alutum*, *Steccherinum oreophilum*.

**Paraules clau:** *Basidiomycetes*, corologia, serra de Mariola (Alacant-València).

---

**Resumen.** CONCA, A. & MARTÍNEZ, F.P. (2021). Basidiomicetos del Parque Natural de la serra de Mariola (l'Alcoià i el Comtat, Alacant, i Vall d'Albaida, València). III *Butll. Soc. Micol. Valenciana* 25: 41-106.

Se incorporan 45 nuevos taxones al catálogo de *Basidiomycetes* del Parque Natural de la serra de Mariola describiéndose todas aquellas que representan una novedad para la flora micológica valenciana o las que consideramos más interesantes, entre ellas destacamos: *Calocera furcata*, *Deconica microphila*, *Gymnopus aquosus*, *Hyphodermella corrugata*, *Leucoagaricus crystallifer*, *Marasmiellus brevisporus*, *Mycena corynephora*, *Mycena pseudoquerciphila*, *Mycena supina*, *Myxarium hyalinum*, *Perenniporia meridionalis*, *Phaeoclavulina quercus-ilicis*, *Radulomyces confluens*, *Saproamanita vittadinii*, *Scytinostroma alutum*, *Steccherinum oreophilum*.

**Palabras clave:** *Basidiomycetes*, corologia, serra de Mariola (Alicante-Valencia).

---

**Abstract.** CONCA, A. & MARTÍNEZ, F.P. (2021). Basidiomycetes from the Natural Park of "serra de Mariola" (l'Alcoià i el Comtat, Alacant, and Vall d'Albaida, València). III. *Butll. Soc. Micol. Valenciana* 25: 41-106.

Forty-five new taxa are incorporated to the *Basidiomycetes* checklist of the Natural Park of the serra de Mariola, being described all those which represent a novelty for the Valencian mycological checklist, among which we highlight: *Calocera furcata*, *Deconica microphila*, *Gymnopus aquosus*, *Hyphodermella corrugata*, *Leucoagaricus crystallifer*, *Marasmiellus brevisporus*, *Mycena corynephora*, *Mycena pseudoquerciphila*, *Mycena supina*, *Myxarium hyalinum*, *Perenniporia meridionalis*, *Phaeoclavulina quercus-ilicis*, *Radulomyces confluens*, *Saproamanita vittadinii*, *Scytinostroma alutum*, *Steccherinum oreophilum*.

**Keywords:** *Basidiomycetes*, chorology, serra de Mariola (Alacant-València).

---

## INTRODUCCIÓ

Des de fa 19 anys s'està prospectant, des del punt de vista micològic, el Parc Natrual (PN) de la serra de Mariola. Aquestes prospeccions han donat com a resultat la publicació de diferents treballs sobre la micobiota del PN (CONCA ET AL. 2004, 2015). L'objectiu d'aquest treball és aportar noves dades per aprofundir en el coneixement dels fongs presents a Mariola.

Des de la darrera revisió dels basidiomicets de la Vall (CONCA ET AL. 2015) s'han editat una sèrie de treballs que aporten nous tàxons per a la micobiota de la serra. F.P. MARTÍNEZ TOLOSA realitzà dos treballs sobre el gènere *Mycena*, en el primer (MARTÍNEZ 2016) incorporà al catàleg micològic de la serra de Mariola *Mycena aurantiistipitata* Robich & A. Gennari, *M. hiemalis* (Osbeck) Quéél., *M. pseudoclavicularis* A.H. Sm., *M. pseudopicta* (J.E. Lange) Kühner, i *Roridomyces roridus* (Fr.) Rexer. L'any passat (MARTÍNEZ 2020) cità com a noves per la serra *Mycena alba* (Bres.) Kühner i *M. polygramma* (Bull.) Gray. En el darrer treball sobre la micobiota dels barrancs de la Vall d'Albaida (GARRIDO-BENAVENT & CONCA 2018) aportaren les següents espècies: *Calocera cornea* (Batsch) Fr. i *Pluteus cervinus* (Schaeff.) P. Kumm.

## MATERIAL I MÈTODE

La metodologia emprada és l'habitual en aquest tipus de treballs. Descripció macroscòpica al lloc de recol·lecta, acompanyada, normalment, de la presa de fotografies dels exemplars "in situ". Aquestes fotografies s'han realitzat amb una Canon Powershot G10 i Olympus E-M5. L'examen microscòpic s'ha realitzat amb un microscopi Nikon Labophot, amb objectius de 100, 400, 600 i

1000 augments; les preparacions es feien amb aigua o amb roig Congo, o roig Congo amoniacal per a les exsiccata. Les fotografies de microscòpia s'han fet amb una Nikon Coolpix 5400 aplicada sobre l'ocular o amb una càmera digital DCM510 o una Canon EOS 1300D situades en el tercer ocular del microscopi. Pel tractament estadístic de les mesures esporals, en la majoria dels casos, s'ha emprat el programa Piximetre; les mesures s'han realitzat sobre fotografies fetes a través de l'ocular que té el micròmetre incorporat o sobre fotos realitzades en el tercer ocular del microscopi. ANTONI CONCA és l'autor de les fotos sempre que no s'indique el contrari.

Per alçar els exemplars s'han assecat a temperatura ambient o amb l'ajuda d'un assecador a baixa temperatura i, posteriorment, abans d'incloure les mostres a l'herbari, s'han passat els exemplars pel congelador durant, almenys, una setmana. Els exemplars estan alçats als herbaris particulars dels autors: ACM (ANTONI CONCA), FMT (FRANCESC DE PAULA MARTÍNEZ) i Fons de fongs de la Comunitat valenciana (FdFCV). La recollida i la determinació ha estat feta pels autors, únicament s'assenyala el recol·lector quan és diferent.

Hem seguit, generalment, els criteris de l'*Index Fungorum* per anomenar les diferents espècies.

## RELACIÓ DE NOVES ESPÈCIES

***Agaricus litoralis*** (Wakef. & A. Pearson) Pilát, *Klíč Kurc. Naš. Hub Hrib.*

*Bedl. (Praha): 403 (1952)*

Codi MYCOBANK: MB195267

Figura 1A-C

**Descripció macroscòpica.** Píleu de 7–8 cm, inicialment hemisfèric, posteriorment convex, per acabar convex amb el centre aplanat a lleugerament deprimat. Marge excedent, apendiculat i involut. Superfície lluenta, generalment clivellada cap al centre, amb escates adpreses de color bru a la zona central, que desapareixen cap a la vora que es presenta llisa, fons blanc que passa a crema i posteriorment a groc. Làmines, atapeïdes, lliures, rectes, amb 1 a 3 lamèl·lules inicialment de color rosa i, finalment xocolata pur. Aresta més clara als exemplars poc madurs i fimbriada a la lupa. Estípit 6.6–7 × 1.4–1.5(1.6–1.7) cm, cilíndric, eixamplat a la zona basal, però aquesta acabada en punta i proveïda d'un o dos cordons micelars en forma d'arrel, de ple a fistulós. Superfície blanca i fibril·losa longitudinalment per damunt l'anell, per sota d'aquest finament escatosa a



Figura 1. *Agaricus litoralis*. A: Carpòfors (ACM219022). B: Carpòfors (ACM219027). C: Espores x 1000. *Amyloporia sinuosa* (ACM221011). D: Carpòfors.

cotonosa, blanquinosa, en fregar-la agafa tonalitats marrons. Anell situat al terç superior, super, membranós -cotonós, ample fins 0.7 cm, llis i estriat per damunt i cotonós per sota, blanc a les dues cares amb la vora irregularment denticulada. Carn abundant i molla al píleu, fibrosa a l'estípit, blanca, que esdevé marró salmó sobretot a la base de l'estípit, d'olor fúngica i sabor dolç.

**Descripció microscòpica.** Espores amplament el·lipsoïdes, de paret grossa, amb vacúols centrals variables, de (6.1)6.5–7.8(8.7) × (4.5)4.7–5.3(5.6) µm, Me = 7.2 × 5 µm, Q = (1.2)1.3–1.5(1.7), Qe = 1.4. Basidis claviformes, tetraespòrics, de 22–24 × 7–8 µm. Queilocistidis cilíndrics a claviformes de 16–26 × 4–5 µm.

**Material estudiat.** Castelló, Vistabella del Maestrat, el Portellàs, 30TYK2761, 1290 msnm, dispersos en un prat, 25/05/2001, ACM201026. València, Bocairent, pla d'Aparici, 30SYH1290, 890 msnm, dos exemplars en prat eixut, prop de *Pinus pinea*, substrat calcari però superficialment descalcificat, 20/09/2019, ACM219027. València, Fontanars dels Alforins, 30SXH8691, 600 msnm, gregaris en un prat, 20/09/19, ACM219022.

**Observacions.** PARRA (2013) assenyala com a hàbitat típic els prats eixuts o zones herboses, generalment en llocs oberts, des de la zona litoral a la muntanya. Les dues col·leccions que presenten es localitzaven en prats de muntanya. Els trets diferencials d'aquest tàxon, d'acord amb PARRA (2013) són: píleu d'un diàmetre inferior a la longitud de l'estípit, reacció de Schaeffer negativa, excepte als rizomorfs, presència d'un únic i no ramificat rizomorf, carn, sobretot la de l'estípit, que esdevé salmó amb el temps. Encara que no és una espècie rara no havia estat citada fins ara a les terres valencianes.

***Amyloporia sinuosa* (Fr.) Rajchenb., Gorjón & Pildain, *Aust. Syst. Bot.* 24 (2): 117 (2011)**

= *Antrodia sinuosa* (Fr.) P. Karst.

Codi MYCOBANK: MB519381

Figura 1D

**Descripció macroscòpica.** Carpòfors allargats, de fins 5 × 1 cm, d'aplanats a lleugerament bombats, de consistència coriàcia quan els exemplars estan eixuts, més blanets de joves. Tubs simples, d'1–2 mm de llargada, de color crema, més foscos en assecar-se. Porus arrodonits, allargats, angulosos, 2–3 per mm, de disposició irregular un tant laberíntica, sobre tot en estat humit, menuts, inicialment blanquinosos, després crema a marró gris clar. Context

molt prim a quasi inexistent, concolor a la resta. Marge d'absent a prim, blanc, fimbriat. Esporada blanquinosa.

**Descripció microscòpica.** Espores llises, de cilíndriques a lleugerament al·lantoides, no amiloides, ni dextrinoides,  $(4.3)4.6-5.6(6.2) \times (1.4)1.6-1.8(2) \mu\text{m}$ ,  $\text{Me} = 5.1 \times 1.8 \mu\text{m}$ ,  $\text{Q} = (2.4)2.5-3.3(3.8)$ ,  $\text{Qe} = 2.9$ , per la col·lecció ACM221011,  $4-6 \times 1-1.5 (1.8) \mu\text{m}$ ,  $\text{Me} = 4.9 \times 1.3 \mu\text{m}$ , per ACM208020. Basidis claviformes, tetraespòrics, fibulats a la base, de  $13-19 \times 3.5-5 \mu\text{m}$ . Sistema hifal dimític, amb hifes generatrius, hialines, de paret prima, septades, fibulades, d'1-3  $\mu\text{m}$  i hifes esquelètiques, acolorides, marró groguenc al microscopi, que s'eixamplen i es difuminen en presència de KOH al 20%, no septades, ni ramificades, amb els extrems atenuats en punta, de 3-5  $\mu\text{m}$  d'amplària.

**Material estudiat.** València, Bocairent, Obaga de l'Alboret, 30SYH1093, 650 msnm, resupinat sobre fusta pelada de pi, 7/03/2008, ACM208020, FdFCV 732. Alacant, Alfafara, font de Tarrago, barranc de la penya del Xorro, 30SYH1293, 690 msnm, resupinat sobre fusta de pi, 29/01/21, ACM221011.

**Observacions.** Tant RYVARDEN & MELO (2017) com BERNICCHIA & GORJÓN (2020) assenyalen que és una espècie típica de fusta de coníferes, com la de pins on nosaltres l'hem trobada. Els primers autors la inclouen dintre del gènere *Antrodia*, mentre que els segons, així com MYCOBANK o *Index Fungorum*, a *Amyloporia* Bondartsev & Singer ex Singer. Els trets diferencials d'*Amyloporia* són la presència d'hifes esquelètiques o elements himenials amiloides i que les hifes esquelètiques s'unflen en presència de KOH (BERNICCHIA & GORJÓN, 2020); curiosament en el cas d'*Amyloporia* no hem trobat cap element amiloide però sí l'eixamplament de les hifes esquelètiques en presència de KOH. L'espècie està molt ben caracteritzada per l'himeni poroide irregular i el color marró grisenc que assoleixen els carpòfors en assecar-se (RYVARDEN & MELO, 2017 i BERNICCHIA & GORJÓN, 2020). Aquest tàxon fou citat per MALENÇON & BERTAULT (1971) de Montitxelvo (Vall d'Albaida), Vilallonga (la Safor) i el PN del Carrascar de la Font Roja.

***Arrhenia obscurata*** (D.A. Reid) Redhead, Lutzoni, Moncalvo & Vilgalys, *Mycotaxon* **83**: 47 (2002)

= *Omphalia obscurata* Kühner

Codi MYCOBANK: MB374156

Figura 2A

**Material estudiat.** València, Bocairent, l'Ansari, 30SYH0587, 740 msnm, gregaris sobre terra nua amb moltes, 12/12/2016, ACM216078.

**Observacions.** Espècie típica de les vores dels camins i llocs aclarits amb moltes que ja ha estat referenciada del veí PN del Carrascar de la Font Roja (CONCA ET AL. 2003) i dels barrancs de la Vall d'Albaida (GARRIDO-BENAVENT ET AL. 2012). Les dimensions esporals de la mostra (7.5)8.4–10.2(11.2) × (5.4)5.5–6.3(7) µm, Me = 9.3 × 5.9 µm, amb una Q mitjana de 1.6, presenten un valor mitja diferent al citat per BON (1997), que defineix les espores com allargades i amb una Q > 2. Però la resta de característiques com la presència d'un pigment incrustant en plaques a la cutícula, l'absència de caulocistidis, i, fins i tot, les dimensions esporals estarien d'acord amb la descripció de MALENÇON & BERTAULT (1975) que MOREAU (2009) assenyalava com la descripció més completa de l'espècie.

### *Calocera furcata* (Fr.) Fr., *Stirp. agri femsion.* 5: 67 (1827) [1825-27]

Codi MYCOBANK: MB2411225

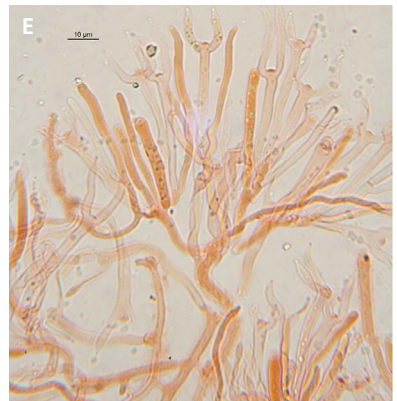
Figura 2B-E

**Descripció macroscòpica.** Carpòfors cilíndrics, més o menys aprimats cap a l'àpex, puntualment bifurcats dicotòmicament a l'àpex i d'altres, més o menys aplanats, de color groc-viu a groc-ataronjat, s'enfosqueixen en assecar-se, d'1–1.5 × 0.1–0.15 cm. Base eixamplada en el substrat, amb un taca micelar blanca en alguns exemplars. Carn gelatinosa i concolor.

**Descripció microscòpica.** Espores cilíndriques, lleugerament al·lantoides, amb un apícula grossa, generalment amb un septe, però ocasionalment amb 2–3 septes, hialines, d'11–14(16) × 4–5(5.5) µm, Me = 12.6 × 4.7 µm. Basidis cilíndrics, un poc eixamplats a l'àpex i amb una papil·la en forma de diamant entre els dos esterigmes, de 27–40 × 2.7–3.8 µm; esterigmes de fins 30 µm de longitud. Hifes del context, cilíndriques, no fibulades, amb paret variable, algunes recobertes d'espines notòries de fins 2 µm d'altura. Hifidis cilíndrics i de parets fines.

**Material estudiat.** València, Bocairent, obaga del Pla d'Aparici, 30SYH1290, 915 msnm, gregaris, de vegades cespitosos, sobre un tronc de pi tombat, sense escorça i prou alterat pels insectes, 8/03/2021, ACM221030.

**Observacions.** L'aspecte macroscòpic de la mostra feia pensar en *Calocera cornea* (Batsch) Fr., però les dimensions esporals, la presència, encara que en poques, de 3 septes a les espores i d'hifes espinoses ens porta d'acord amb JULICH



**Figura 2.** *Arrhenia obscurata*. A: carpòfors (ACM216078). *Calocera furcata* (ACM221030). B i D: Carpòfors. C: Espores × 1000. E: Basidis × 600.



(1984), i Nordic Macromycetes a *C. furcata*. JULICH (1984) també assenyala com a tret característic l'engruixament de la base del carpòfor i la presència de miceli blanc en la mateixa zona, fet que es pot observar als exemplars estudiats, així com el creixement sobre pins, front a *C. cornea* que prefereix els planifolis.

***Cellulariella warnieri*** (Durieu & Mont.) Zmitr. & Malysheva, *Index Fungorum* **180**: 1 (2014)

= *Lenzites warnieri* Durieu & Mont.

Codi MYCOBANK: MB149066

Figura 3A-B

**Material estudiat.** Alacant, Banyeres de Mariola, barranc de Benasait, 30SYH0486, 720 msnm, gregaris i imbricats sobre un troc de noguera, mort i tombat, 10/07/2017, leg. Miguel Belda, ACM217005. València, Bocairent, mas dels arbres, 30SYH1492, 960 msnm, gregaris sobre tronc d'om caigut, 27/12/2019, ACM219097.

**Observacions.** *Cellulariella warnieri* es caracteritza pels seus grossos basidiomes, pileats, semicirculars, normalment de més de 20 cm d'amplària, himenòfor lamel·lat, sistema hifal trimític, absència de cistidis i espores cilíndriques, llises i no amiloides, de 6–9 × 3–4 µm en les mostres estudiades (BERNICCHIA & GORJON 2020). *Trametes betulina* (L.) Pilát, és força semblant però de menors dimensions tant dels basidiomes com de les espores (BERNICCHIA & GORJON 2020). Es tracta d'un fong saprotròfic d'apetències termòfiles que viu sobre troncs vius o caiguts de diferents arbres planifolis (PÉREZ DE GREGORIO 2007; BERNICCHIA & GORJON 2020), en aquest cas sobre troncs tombats de noguera (*Juglans regia*) i om (*Ulmus minor*). BERNICCHIA & GORJON (2020) indiquen que el seu període de fertilitat és primaveral, però la mostra ACM219097 recollida a mitjans de desembre, presentava espores. No es coneix cap referència a aquesta espècie al País Valencià.

***Chroogomphus mediterraneus*** (Finschow) Vila, Pérez-De-Greg. & G. Mir, *Errotari* **3**: 68 (2006)

Codi MYCOBANK: MB624017

**Material estudiat.** València, Bocairent, pla d'Aparici, 30SYH1190, 900 msnm, dispersos a gregaris en una pineda de *Pinus pinea* amb *Cistus albidus* i



Figura 3. *Cellulariella warnieri*. A: Carpòfors (ACM219097). B: Carpòfors (ACM217005). *Coprineillus disseminatus* (ACM216071). C: Carpòfors. *Crepidotus cesatii* (ACM221029). D: Carpòfors.

*Salvia rosmarinus*, sobre substrat calcari superficialment descalcificat, leg. A. Conca. 08/11/2014, JLS 3708 (seqüència d'ADN de la regió nrITS amb codi de GENBANK: KX452147). València, Devesa de l'Albufera, Pla de la Sanxa, 30SYJ3158, 2 msnm, solitari sota *Pinus halepensis* i *Quercus coccifera* en substrat arenós calcari, 2/11/2016, ACM216039. València, Bocairent, el Xipreret, 30SYH1091, 890 msnm, un parell d'exemplars dispersos entre *Pinus halepensis* i *Quercus ilex* subsp. *rotundifolia*, substrat calcari parcialment descalcificat, 23/04/2021, ACM221055.

**Observacions.** SIQUIER ET AL. (2016) realitzen un estudi sobre la distribució de *Chroogomphus mediterraneus* a les Illes Balears i la Península Ibèrica, dintre de les mostres analitzades hi ha una, referenciada dintre del material estudiat i subministrada per un dels autors, de la serra Mariola i que en un primer moment fou determinada com *Chroogomphus rutilus* (Schaeff.) O.K. Mill., però que les anàlisis filogenètiques determinaren com a *C. mediterraneus*. Les diferències entre les dues espècies, tant macroscòpiques com microscòpiques, són més bé escasses, i es limiten a l'amplària de la paret dels cistidis, més estreta i menor d'1.2 µm en *C. mediterraneus* (MARTÍN ET AL. 2016; SIQUIER ET AL. 2016), i l'absència de reacció dextrinoide amb el reactiu de Melzer en l'espècie que ens ocupa. SIQUIER ET AL. (2016) i MIR ET AL. (2016) conclouen que en ambient mediterrani, sota *Pinus halepensis* i en substrat calcari, l'espècie de *Chroogomphus* present serà *C. mediterraneus*, que tradicionalment ha estat confosa o interpretada com *C. rutilus*. Les mostres del pla de la Sanxa (ACM216039) i les del Xipreret (ACM221055) presentaven la trama himenial no amiloide i la paret dels cistidis prima entre 0.5 i 1.1 µm, totes dues característiques típiques de *C. mediterraneus*.

***Coprinellus disseminatus* (Pers.) J.E. Lange, Dansk bot. Ark. 9 (no. 6): 93 (1938)**

Codi MYCOBANK: MB107842

Figura 3C

**Material estudiat.** València, Bocairent, l'Ansari, 30SYH0587, 740 msnm, gregaris sobre soca de xop, 12/12/2016, ACM216071.

**Observacions.** Espècie fàcil de reconèixer en el camp, per créixer en grups de nombrosos individus a la soca de planifolis o en la terra que els envolta, se separa d'altres bolets semblants per la forma i dimensions esporals, a la mostra estudiada (6.9)7.2–8.9(9.3) × 4–4.8 µm, Me = 7.9 × 4.5 µm, Qe = 1.8; l'absència de cistidis himenials, i la presència de caulocistidis i pileocistidis amb un coll

cilíndric llarg (ULJÉ 2005; EYSSARTIER & ROUX 2017). Espècie citada del PN del Carrascar de la Font Roja (CONCA ET AL. 1997), dels bancals de tarongers de la Costera (MARTÍNEZ 2002), del PN del desert de les Palmes (TORREJÓN 2004), del PN de la Devesa de l'Albufera (CONCA ET AL. 2011) i del barrancs de la Vall d'Albaida (GARRIDO-BENAVENT ET AL. 2012).

### *Crepidotus cesatii* (Rabenh.) Sacc., *Michelia* 1(no. 1): 2 (1877)

Codi MYCOBANK: MB191614

Figura 3D

**Material estudiat.** València, Bocairent, el Carrascalet, senda de Castalla, 30SYH0893, 670 msnm, gregaris sobre una branca de carrasca caiguda a terra, 9/03/2021, ACM221029.

**Observacions.** D'acord amb CONSIGLIO & SETTI (2008), aquesta espècie és fàcilment identificable, macroscòpicament pel seu píleu cònic acampanat, pilós i les làmines espaiades. Microscòpicament, per les espores arrodonides, equinulades i els queilocistidis en banya de cérvol. Típica de fusta de planifolis (CONSIGLIO & SETTI 2008), ha estat citada sobre *Eucalyptus* de la Devesa de l'Albufera (CONCA ET AL. 2011) i la mostra actual sobre carrasca (*Quercus ilex* subsp. *ballota*).

### *Crepidotus luteolus* Sacc., *Syll. fung.* (Abellini) 5: 888 (1887)

Codi MYCOBANK: MB209274

Figura 4A-B

**Descripció macroscòpica.** Píleu de 4–16 × 2–5 mm, d'acampanat a convex, finalment aplanat, de semicircular a reniforme. Marge primer clarament enrotllat, posteriorment de lleugerament enrotllat a recte. Superfície vellutada a llanosa, posteriorment llisa, de color blanc. Làmines, comparativament grosses, moderadament espaiades, L = 8–15, l = 3–7, primer blanques, marró clar en madurar les espores. Aresta finament fimbriada a la lupa i més clara. Estípit únicament visible als exemplars més joves, en aquest cas cilíndric, colzat, blanc i llanós. Carn molt escassa, blanca, sense capa gelatinosa, sense olor ni sabor. Esporada marró clar amb un punt rosa.

**Descripció microscòpica.** Espores d'oblongues a amigdaliformes, de color ocre clar al microscopi, finament berrugoses, amb berrugues molt menudes difícils

d'observar al microscopi òptic, amb una gran vacúol lipídica, de  $(8.4)8.5-9.8(10.2) \times (3.9)4.3-4.8(5.2) \mu\text{m}$ ,  $Me = 9.1 \times 4.6 \mu\text{m}$ ,  $Q = (1.8)1.9-2.1(2.2)$ ,  $Q_e = 2$ ,  $N = 53$ . Basidis claviformes amb 4 esterigmes llargs, fibulats a la base, de  $20-26 \times 7-9 \mu\text{m}$ . Queilocistidis cilíndrics, sinuosos, amb l'apex de capitulat a atenuat, de vegades ramificats o forcats, de  $30-40 \times 6-8 \mu\text{m}$ . Pileipellis formada per un cutis d'hifes entrecruades, cilíndriques, hialines, fibulades, de fins  $6 \mu\text{m}$  de diàmetre.



Figura 4. *Crepidotus luteolus* (ACM221034). A: Carpòfors. B: Espores  $\times 1000$ . *Crinipellis subtomentosa* (ACM216062). C: Carpòfors.

**Material estudiat.** València, Bocairent, la Canaleta, 30SYH0792, 607 msnm, gregaris a dispersos sobre l'escorça d'un tronc de *Populus × canadiensis* tombat, 23/03/2021, ACM221034.

**Observacions.** Els trets diferencials d'aquesta espècie front a les altres macroscòpicament semblants són les espores grosses, oblongues i amigdaliformes, la decoració esporal formada per menudes berrugues i els queilocistidis cilíndrics sinuosos, ramificats a l'àpex (CONSIGLIO & SETTI 2008). La forma típica, com assenyala el nom específic, és crema a groga (CONSIGLIO & SETTI 2008), però també se'n troben formes completament blanques (MALENÇON & BERTAULT 1975; BREITENBACH & KRÄNZLIN 2000) com la que ens ocupa. L'hàbitat característic d'aquesta espècie són les tiges mortes d'herbes grosses, i branques, branquetes i restes vegetals de planifolis (MALENÇON & BERTAULT 1975; BREITENBACH & KRÄNZLIN 2000; CONSIGLIO & SETTI 2008). Les mostres estudiades creixien sobre l'escorça de grosses branques apilades i amuntonades de *Populus × canadiensis*. Aquest tàxon és novetat per la micoflora valenciana.

### ***Crinipellis subtomentosa* (Peck) Singer, *Lilloa* 8: 513 (1943) [1942]**

Codi MYCOBANK: MB285861

Figura 4C

**Material estudiat.** València, Bocairent, Pinatell, 30SYH1291, 880 msnm, gregaris en prat sobre gramínies i terra, 7/12/2016, ACM216062.

**Observacions.** Els trets diferencials d'aquesta espècie són: basidiocarps robustos de tipus *Collybia*, amb l'estípit subbulbós de més de 2 mm d'amplària, espores no dextrinoides i absència de tonalitats roig porpra i clamidòspores (ANTONIN & NOORDERLOSS 2010). Espècie ja citada dels barrancs de la Vall d'Albaida creixent en un herbassar amb abundants restes vegetals (GARRIDO-BENAVENT ET AL. 2012).

### ***Deconica micropora* (Noordel. & Verduin) Noordel., *Öst. Z. Pilzk.* 18: 198 (2009)**

= *Psilocybe micropora* Noordel. & Verduin

Codi MYCOBANK: MB515376

Figura 5

**Descripció macroscòpica.** Píleu de 0.7 a 1.7 cm de diàmetre, de convex passa a pla convex amb un umbó obtús, deprimat al voltant d'aquest. Vora lleugerament inflexa i parcialment estriada per transparència en períodes humits. Marge recte, un poc excedent. Cutícula no separable, llisa, higròfana, de color marró fosc a marró castanya, en deshidratar-se passa a crema, restant el centre ocre. Làmines espaciades,  $L = 15-21$ ,  $l = (0)1-3$ , adnates a adnato-decurrents, amples (fins 4 mm), ventrudes, de color marró tabac a marró xocolata en madurar les espores. Aresta fimbriada i un poc més clara. Estípit  $1-1.7 \times 0.1-0.2$  cm, cilíndric, progressivament més prim cap a la base que sovint es presenta eixamplada a bulbosa, fistulós. Superfície fibril·losa, recoberta per fibril·les blanquinoses sobre un fons marró clar a marró ocre. Carn molt escassa, higròfana, de marró passa a crema, d'olor fúngica.

**Descripció microscòpica.** Espores llises, d'ovoides a el·lipsoïdes, de paret poc grossa, amb un porus germinatiu inconspicua, molt difícil de veure si no és en exemplars immadurs, lleugerament violàcies al microscopi, de  $(6.9)7.4-8.6(8.7) \times (4.8)5-5.7(6) \mu\text{m}$ ,  $Me = 7.9 \times 5.3 \mu\text{m}$ ,  $Q = (1.3)1.4-1.6(1.7)$ ,  $Q_e = 1.5$ ,  $N = 31$ . Basidis cilíndrics a subclaviformes, de vegades, amb un estretament subapical, fibulats, de  $16-23 \times 5-7 \mu\text{m}$ . Queilocistidis subulats a langeniformes, de vegades colzats i amb l'apex no capitat, de  $17-27 \times 3.7-6 \mu\text{m}$ . Ni pleurocistidis ni crisocistidis observats. Fíbules presents.

**Material estudiat.** València, Bocairent, pla d'Aparici, 30SYH1290, 880 msnm, gregaris en prat, 1/12/2019, ACM219068. *Ibidem*, 2/05/2021, ACM221087.

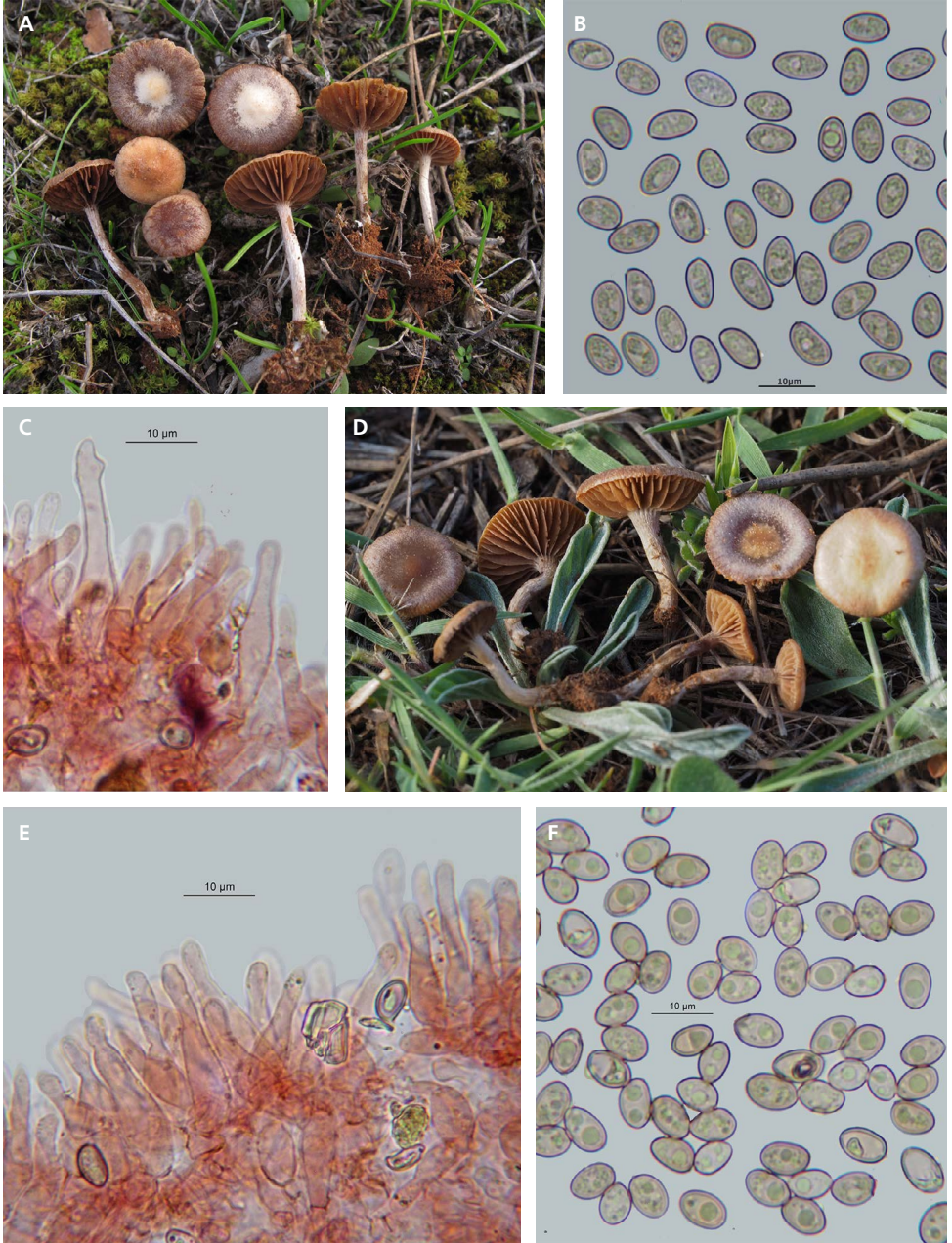
**Observacions.** El porus inconspicua, moltes vegades difícil de veure, junt a la seua cutícula no separable són els trets peculiars d'aquesta espècie (NOORDERLOOS 2011). Aquest tàxon és novetat per a les terres valencianes, possiblement ha estat confós amb *D. montana* (Pers.: Fr.) P.D. Orton.

***Echinoderma asperum*** (Pers.) Bon, *Docums Mycol.* **21** (no. 82): 62 (1991)  
= *Lepiota aspera* (Pers.) Quél.

Codi MYCOBANK: MB354364

**Material estudiat.** València, Bocairent, masset dels Corbs, 30SYH1593, 995 msnm, solitari sota carrasca, 17/10/2019, ACM219051.

**Observacions.** Espècie fàcilment identificable per les seues grosses dimensions, les escates piramidals que adornen el píleu i la vora de l'anell membranós persistent i penjant, les seues làmines bifurcades i microscòpicament per les



**Figura 5.** *Deconica micropora* (ACM219068). **A:** Carpòfors. **B:** Espores × 1000. **C i E:** Queilocistidis × 1000. *Deconica micropora* (ACM219078). **D:** Carpòfors. **F:** Espores × 1000.



grosses espores tipus “*Boletus*” (VELLINGA 2001; EYSSARTIER & ROUX 2017). Ha estat citada del barranc de la Vall d’Albaida (GARRIDO-BENAVENT ET AL. 2012) i del PN del Carrascar de la Font Roja (CONCA ET AL. 2020). L’hàbitat d’aquesta troballa, sobre fulles i una bona capa d’humus sota una carrasca coincideix amb ACM208147 i ACM218074, del veí PN del Carrascar de la Font Roja (CONCA ET AL. 2020) i amplia la seua ecologia que inicialment estava associada a bosquets de ribera (GARRIDO-BENAVENT ET AL. 2012).

***Fuscoporia ferruginosa*** (Schrad.) Murrill [as ‘*ferruginosus*’], *N. Amer. Fl.* (New York) **9** (1): 5 (1907)

= *Phellinus ferruginosus* (Schrad.) Pat.

Codi MycoBank MB 22487

Figura 6A-C

**Material estudiat.** Alacant, Alfara, font de Tarrago, barranc de la penya del Xorro, 30SYH1293, 690 msnm, resupinat sobre un troc de fleix caigut a terra, 29/01/2021, ACM221014.

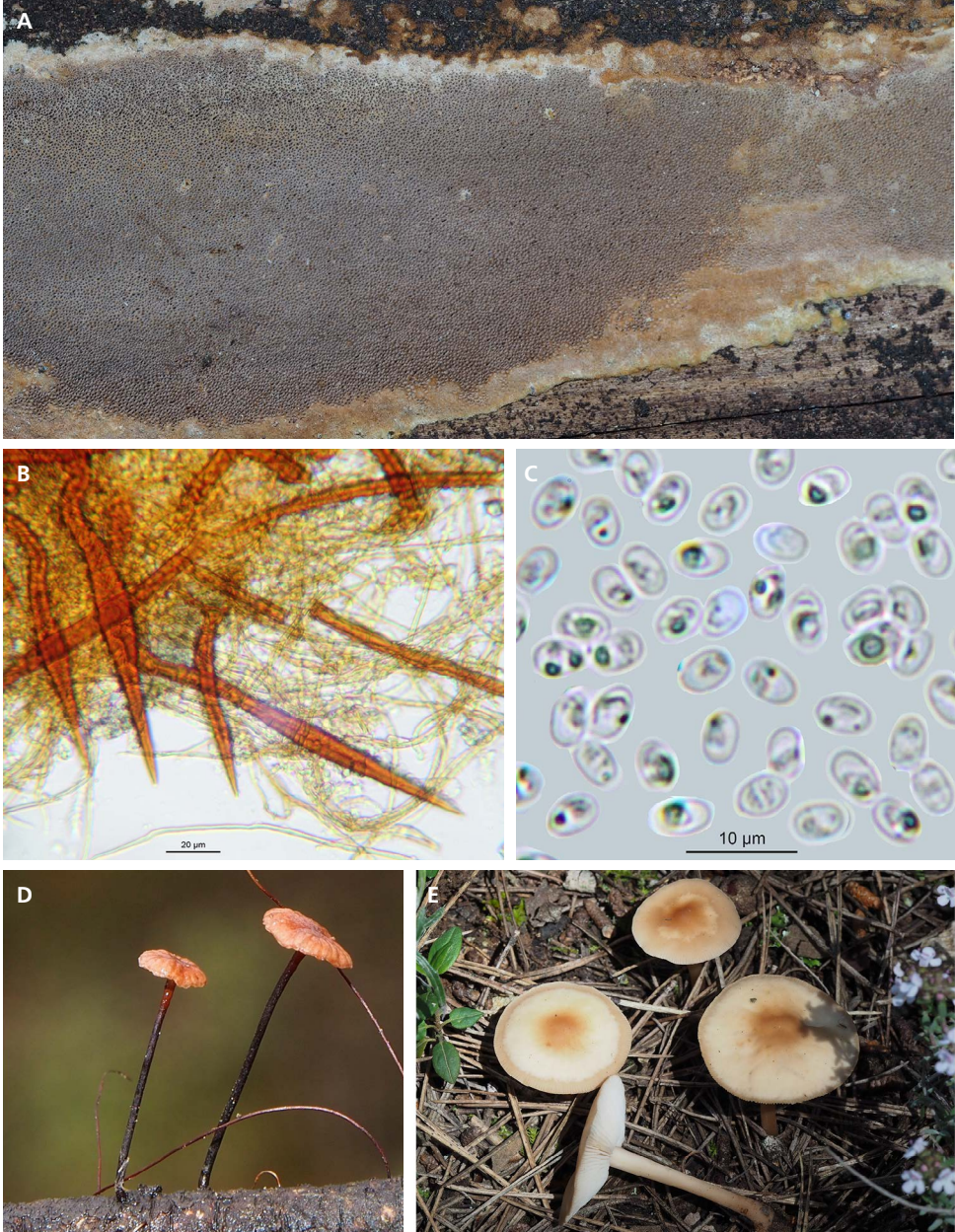
**Observacions.** El gènere *Fuscoporia* fou descrit per MURRILL (1907) en base als següents trets: carpòfors anuals, resupinats i prims, context prim i de color marró, tubs curts i marrons, espores llises, hialines, de paret prima, de globoses a oblongues i cistidis (setes) quasi sempre presents. BERNICCHIA & GORJÓN (2020) afegixen a reacció nul·la al reactiu de Melzer i inclouen dintre de *Fuscoporia* basidiomes pileats com *Fuscoporia torulosa* (Pers.) T. Wagner & M. Fisch. Dintre dels resupinats a la zona mediterrània *F. ferruginosa* es caracteritzaria per la presència de setes en la trama, 7 a 9 porus per mm, i espores amplemment el·lipsoides a oblongues de 4.5–6 × 3–3.5 µm (BERNICCHIA & GORJÓN 2020). Tots aquests trets es compleix els exemplars estudiats que creixien sobre una branca de fleix de flor (*Fraxinus ornus*) caiguda en terra. No tenim constància de cap cita al País Valencià.

***Gymnopus androsaceus*** (L.) Della Magg. & Trassin., *Index Fungorum* **171**: 1 (2014)

= *Marasmius androsaceus* (L.) Fr.

Codi MycoBank: MB487827

Figura 6D



**Figura 6.** *Fuscoporia ferruginosa* (ACM221014). **A:** Carpòfors. **B:** Setes trama  $\times 400$ . **C:** Espores  $\times 1000$ . *Gymnopus androsaceus* (ACM216060). **D:** Carpòfors. *Gymnopus aquosus* (ACM221069). **E:** Carpòfors.

**Material estudiat.** Bocairent, els Collets, 30SYH1292, 910 msnm, gregaris sobre agulles de pi, branquetes, herbes en els sotabosc d'un carrascar amb pins, 7/12/2016, ACM216060.

**Observacions.** *Gymnopus androsaceus* es caracteritza pel seu píleu marasmioide menut, inferior a 1.5 cm, làmines espaiades de color rosa fosc, estípit filiforme i negre i carn sense olor remarcable (ANTONIN & NOORDERLOOS 2010). Espècie amplament citada al PN de la serra d'Espadà sobre fulles diverses i acícules de pi (BURGUETE 1995), al PN del Carrascar de la Font Roja sobre fulles de carrasca (CONCA ET AL. 1997), al PN del Desert de les Palmes sobre fulles de *Cistus populifolius* (TORREJÓN 2004) i als barrancs de la Vall d'Albaida sobre fulles caigudes de garrera (*Rosa* sp.) (GARRIDO-BENAVENT ET AL. 2012).

***Gymnopus aquosus* (Bull.) Antonín & Noordel., in Antonín, Halling & Noordeloos, *Mycotaxon* 63: 363 (1997)**

= *Collybia aquosa* (Bull.) P. Kumm.

Codi MYCOBANK: MB437615

Figura 6E

**Descripció macroscòpica.** Píleu de 2.2–3.7 cm, de convex a aplanat, lleugerament deprimit als exemplars mes vells, amb o sense umbó. Marge recte, igual, inicialment lleugerament incurvat, després recte. Superfície llisa, higròfana, estriada a la vora, de color crema groguenc a ocrós, generalment amb el centre més fosc, s'aclareix en assecar-se. Làmines prou atapeïdes, L = 30–43, l = 3(7), adnates, escotades, lleugerament ventrudes a rectes i un poc sinuoses, estretes, fins 0.4 cm, de color crema. Aresta concolor, lleugerament pruïnosa a la lupa. Estípit cilíndric, clarament bulbós a la base de 3.6–4.3 × 0.2–0.3 (0.5–0.8) cm, esvelt, recte, fistulós amb alguns cordons micelians blanquinosos. Superfície llisa, a finament fibril·losa, de color crema sempre més clara que el píleu. Carn molt escassa, blanquinosa, més fosca i fibrosa a l'estípit, d'olor fúngica agradable.

**Descripció microscòpica.** Espores llises, el·lipsoïdes a oblongues, en forma de llàgrima, amb una grossa apícula, ni amiloides ni dextrinoides, de (4.9)5.2–5.9(6.1) × (3)3.1–3.6(4) µm, Me = 5.5 × 3.3 µm, Q = (1.5)–1.8(1.9), Qe = 1.7, N= 41. Basidis claviformes, amb 4 esterigmes llargs, de 19–23 × 6–7 µm. Queilocistidis molt variables, claviformes, irregularment claviformes, llargament esferopedunculats, en forma de "T" amb dos lòbuls irregulars i grossos, de paret prima, de 24–39 × 7–17 µm. Pleurocistidis no observats.

**Material estudiat.** València, Bocairent, Pla de Nones-Pla dels Assensis, 30SYH0790, 835 msnm, gregaris en zona d'estepearar (*Cistus albidus*) amb *Pinus halepensis* sobre substrat calcari parcialment descalcificat, 5/05/2021, ACM221069.

**Observacions.** Se separa de *G. dryophilus* (Bull.: Fr.) Murrill per l'estípit clarament bulbós, els queilocistidis claviformes, no tuberculats, i la seua aparició primaveral (ANTONIN & NOORDERLOOS 2010). No coneguem cap referència d'aquesta espècie pel País Valencià.

***Gymnosporangium confusum* Plowr., Monogr. Brit. Ured. Ustil.**  
(London): 232 (1889)

Codi MYCOBANK: MB178831

Figura 7A-B

**Material estudiat.** València, Bocairent, obaga del pla d'Aparici, 30SYH1290, 915 msnm, gregaris sobre *Juniperus oxycedrus*, 8/03/2021, ACM221018.

**Observacions.** Els telis creixen gregaris a l'extrem de branques i branquetes lleugerament unflades de *Juniperus oxycedrus*; en forma de llengua, de color caramel amb la base més fosca, mesuren hidratades: 1–1.5 × 0.3–0.9 cm. Les teliòspores són amplament el·lipsoidals, amb un septe en mig amb escassa constricció lateral, de 36–40 × 24–31 µm. *Gymnosporangium sabinae*, molt semblant i que creix sobre els mateixos *Juniperus*, té l'àpex de les teliòspores apuntat (FERNÁNDEZ 2018). Encara que pensem que és una espècie molt comuna no ha estat citada fins ara a les terres valencianes.

***Gymnosporangium gracile* Pat., Bull. Soc. mycol. Fr. 18 (2): 47 (1902)**

Codi MYCOBANK: MB157995

Figura 7C-D

**Material estudiat.** Alacant, Alcoi, Sotorroni, 30SYH0784, 910 msnm, gregaris sobre fasciacions de *Juniperus oxycedrus*, 25/03/2015, ACM215007. *Ibidem*, ACM215008. València, Bocairent, obaga del Pla d'Aparici, 30SYH1290, 910 msnm, gregaris sobre fasciacions de *J. oxycedrus*, 8/03/2021, ACM221017.

**Observacions.** La fase telial se separa de les altres espècies pel creixement sobre fasciacions de *J. oxycedrus*, sense produir hipertrofia en les rames (FERNÁNDEZ 2016, 2018). Espècie citada al PN del desert de les Palmes creixent sobre *Juniperus*

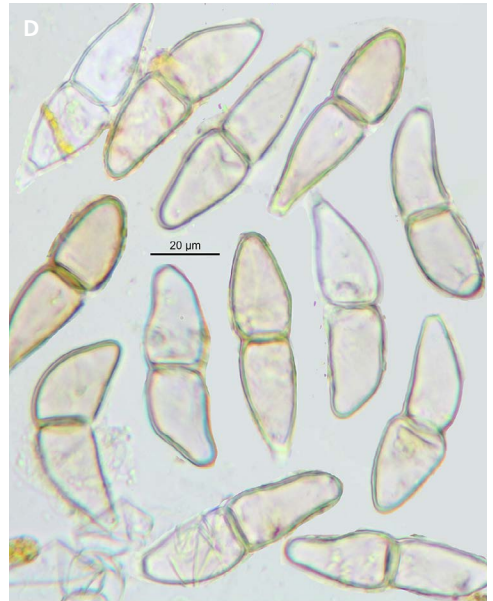


Figura 7. *Gymnosporangium confusum* (ACM221018). A: Telis. B: Teliòspores  $\times 400$ . *Gymnosporangium gracile* (ACM221017). C: Telis. D: Teliòspores  $\times 400$ .

*oxycedrus* (TORREJÓN 2002) i al PN del Carrascar de la Font Roja (CONCA ET AL. 2020).

***Hyphodermella corrugata* (Fr.) J. Erikss. & Ryvarden, *Cortic. N. Eur.* (Oslo) 4: 579 (1976)**

Codi MYCOBANK: MB315541

Figura 8A, C-D

**Descripció macroscòpica.** Carpòfor resupinat, allargat, d'uns 7 × 2.3 cm, prim, format per una crosta d'1 mm de gruix. Superfície irregular ceràcia, de tuberculada a denticulada, ciliada arreu, de color crema groguenc, de vegades amb un reflex verdós. Marge blanc, difuminat, més prim i amb aculis blancs.

**Descripció microscòpica.** Espores llises, el·líptiques, de paret prima, amb gútules oleaginoses al seu interior, no amiloides, ni dextrinoides, de 6–9 × 4–6 µm. Basidis claviformes, no fibulats a la base, amb 4 esterigmes, de 25–40 × 6–7 µm. Cistidis absents, però els aculis presenten aglutinacions de pseudocistidis cilíndrics amb abundants cristall incrustats a l'àpex, de 60–80 × 3–4 µm. Sistema d'hifes monomític, amb hifes cilíndriques, de paret prima, septades, no fibulades, de 2–4 µm d'amplaria.

**Material estudiat.** València, Bocairent, Obaga de l'Alboret, la Mola, 30SYH1093, 715 msnm, resupinat a la banda de banda d'una branca en terra de *Juniperus oxycedrus*, parcialment coberta per molsa, 18/11/2020, ACM220040. *Ibidem*, Camí del Molins, 30SYH0587, 815 msnm, resupinat sobre una branca d'argelaga (*Ulex parviflorus*), 21/03/2021, ACM221103.

**Observacions.** El gènere *Hyphodermella* és pròxim a *Hyphoderma* Wallr. però se'n separa per l'absència de fibules i els basidis allargats (BERNICCHIA & GORJÓN 2010). La presència dels aculis amb hifes cristal·litzades observables amb l'ajuda d'una lupa és un caràcter diferencial d'aquesta espècie (RYVARDEN 1997). RYVARDEN (1997) assenyala la seua presència sobre fusta tant de planifolis com de coníferes; BERNICCHIA & GORJÓN (2010) el citen sobre planifolis i sobre diferents arbusts com *Erica arborea*, *Arbutus unedo*, *Salvia rosmarinus* i *Juniperus communis*. Nosaltres l'hem observada sobre *Juniperus oxycedrus*, *Cistus albidus* i *Ulex parviflorus*. Les espores de la mostra estudiada són més menudes que les assenyalades per BREITENBACH & KRÄNZLIN (1986), JULICH (1989), BERNICCHIA & GORJÓN (2010) i RYVARDEN (1997), però la resta de trets tant macroscòpics com microscòpics hi estan d'acord; JESÚS RIEZU (com. pers.) té una recol·lecta amb dimensions esporals 6.5–7.5 × 3.5–4 µm. Novetat per a la micobiota valenciana.

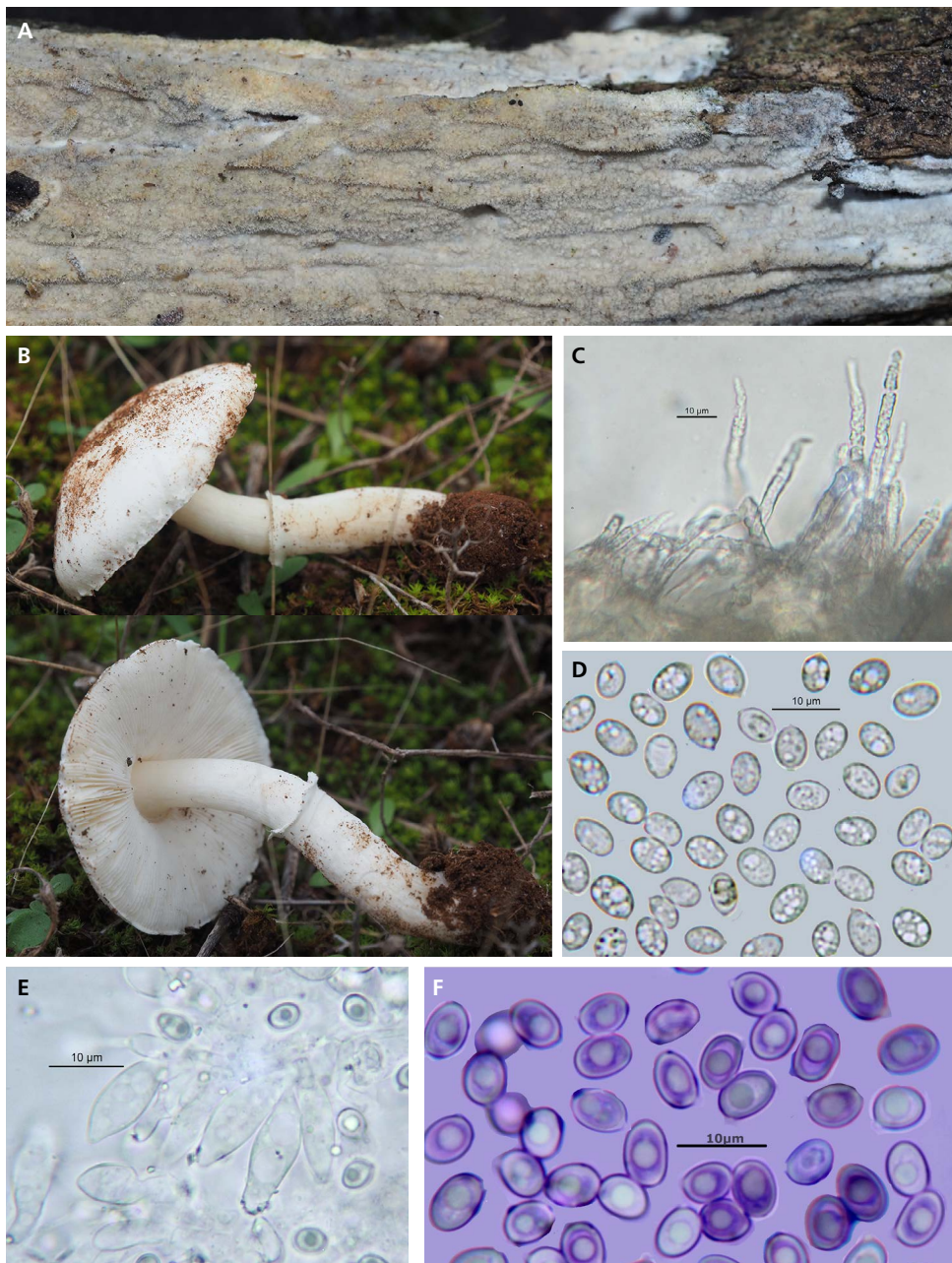


Figura 8. *Hyphodermella corrugata* (ACM221103). A: Carpòfors. C: Pseudocistidis  $\times 600$ . D: Espores  $\times 1000$ . *Leucoagaricus crystallifer* (ACM219024). B: Carpòfors. F: Espores  $\times 1000$ .

***Lenzitopsis oxycedri*** Malençon & Bertault, *Bull. trimest. Soc. mycol. Fr.* **79**: 82 (1963)

Codi MYCOBANK: MB333109

**Material estudiat.** València, Bocairent, Pla de Santa Bàrbara, 30SYH0991, 850 msnm, sobre l'escorça d'un cimal de *Cupressus sempervirens*, 20/11/2018, ACM218106.

**Observacions.** La descripció i la cita d'aquesta recol·lecta fou publicada l'any passat en el treball sobre el PN del Carrascar de la Font Roja (CONCA ET AL. 2020).

***Leucoagaricus crystallifer*** Vellinga, *Persoonia* **17** (3): 475 (2000)

Codi MYCOBANK: MB 542678

Figura 8B, E-F

**Descripció macroscòpica.** Píleu de 3.4 a 4.3 cm, de convex, passa a pla-convex per esdevenir finalment aplanat, amb una lleugera depressió central. Marge excedent i apendiculat. Superfície llisa, mat blanca. Làmines atapeïdes, l = 1–3, lliures, de lleugerament ventrudes a rectes blanques. Aresta concolor, flocosa. Estípit de 5.2–6 × 0.5–0.6(0.7) cm, cilíndric, lleugerament eixamplat a la base i fistulós. Anell membranós, blanc amb la part basal formant un collaret i la part superior recta i lliure. Superfície blanca, lluenta, fibril·losa longitudinalment, rugulosa a les corbes. Carn blanca, més fibrosa a l'estípit, d'olor suaument afruitada.

**Descripció microscòpica.** Espores llises, el·lipsoïdes, amb paret grossa, vacúol central, dextrinoides i lleugerament metacromàtiques, no porades, de (6.4)7.1–8.2 × (4)4.2–4.9 (5.1) µm, Me = 7.4 × 4.6 µm, Q = (1.3)1.4–1.7, Qe = 1.6, N= 33. Basidis claviformes, amb 4 esterigmes curts, de 18–19 × 6–8 µm. Queilocistidis claviformes, fusiformes, de vegades mucronats i, generalment, amb cristalls dispersos a la part apical, de 23–33 × 6–12 µm.

**Material estudiat.** València, Bocairent, pla d'Aparici, 30SYH1290, 890 msnm, un parell d'exemplars en un prat prop de *Pinus pinea*, *Thymus vulgaris*, substrat sorrenc-argilós, parcialment descalcificat, 20/09/2019, ACM219024.

**Observacions.** CANDUSSO & LANZONI (1990), BON (1993) i CABALLERO (2000) descriuen *L. serenus* amb queilocistidis fusiformes a sublangeniformes amb cristalls a l'àpex. VELLINGA (2001) separa *L. crystallifer* per la presència de



cristalls a l'apex dels queilocistidis i una major resistència a la deshidratació de les parets dels mateixos front a *L. serenus* (Fr.) Bon & Boiffard, amb queilocistidis amplament claviformes, sense cristalls i amb parets fàcilment col·lapsades després de la deshidratació. CABALLERO (2012) sinominitza i considera prioritari *L. serenus*. EYSSARTIER & ROUX (2017) ja parlen de *L. serenus* i *L. crystallifer* com a espècies diferents. És novetat per a la micobiota valenciana.

***Marasmiellus brevisporus* (Maire) Contu, *Micol. Veg. Medit.* 6 (2): 142 (1991)**

Codi MYCOBANK: MB358800

**Figura 9**

**Descripció macroscòpica.** Píeu de 0.8–1.4 cm de diàmetre, inicialment convex, més o menys aplanat, amb el marge lleugerament incurvat, posteriorment d'aplanat passa a deprimit amb el marge recte, fins i tot, alçat, umbonat o no. Superfície irregular, solcada acanalada a la vora, mat, tomentosa, de vegades, subesquamulosa, blanquinosa, crema o beix, amb el centre més fosc d'ocre a gris oliva. Làmines espaciades, L = 12–14, l = 0(1), decurrents, arquejades, puntualment bifurcades, estretes, de blanquinoses passen a crema. Aresta concolor i recta. Estípit d'1–3(3.5) × 0.1–0.2 cm, de vegades, lleugerament excèntric, cilíndric, d'igual a progressivament atenuat cap a la base, que generalment s'eixampla un poc, Superfície de llisa a solcada longitudinalment, completament tomentosa, blanquinosa a l'apex, després d'una breu zona gris verdosa la resta és negra amb un reflex verd; la part fosca augmenta amb el temps. Carn molt escassa, elàstica, blanca, sense olor ni sabor diferenciats.

**Descripció microscòpica.** Espores llises, de subglobooses, el·lipsoides a ovoides, de paret prima, hialines amb un apèndix hilar desenvolupat, de (9.4)10–12.5(13.8) × (6.1)6.8–8.6(9.2) µm, Me = 11.4 × 7.7 µm, Q = (1.2)1.3–1.6(1.7), Qe = 1.5, N = 91. Basidis claviformes, bispòrics, fibulats a la base, de 24–30 × 6–8 µm. Queilocistidis claviformes, cilíndric sinuosos, sovint diverticulats, de vegades colzats, de 27–42 × 4–9 µm. Pileipellis formada per una tricoderma, amb hifes cilíndriques a claviformes, diverticulades, moltes amb paret grossa i pigment parietal o incrustant de 29–56 × 4–5 µm. Caulocistidis cilíndrics, claviformes, flexuosos, amb paret grossa i pigmentada, alguns diverticulats, de 45–90 × 4–7 µm.

**Material estudiat.** València, Bocairent, pla de Nones, 30SYH0790, 830 msnm, dispersos en una zona herbosa aclarida prop d'una casa, 8/09/2015,



**Figura 9.** *Marasmiellus brevisporus* (ACM215023). A: Carpòfors. E: Caulocistidis  $\times 400$ . F: Cutícula  $\times 1000$ . *Marasmiellus brevisporus* (ACM208077). B: Espores  $\times 1000$ . *Marasmiellus brevisporus* (ACM218029). C: Basidis  $\times 1000$ . D: Carpòfors.

ACM215023. València, Ontinyent, salt del bou, 30SYH0699, 375 msnm, gregaris, de vegades, fasciculats en grups de 2 a 5 exemplars, sobre arrels de gran (*Cynodon dactylon*), 28/09/2008, ACM208077, FdFCV-616. Ibidem, Pola, 30SYH0298, 435msnm, gregaris i, de vegades, fasciculats sobre arrels i rizomes de gramínies, en terreny arenós, 12/09/2018, ACM218028. València, Fontanars dels Alforins, Mallaura, 30SXH9197, 670 msnm, gregaris i, de vegades, fasciculats sobre arrels i rizomes de gramínies, en terreny arenós, 19/09/2018, ACM218038.

**Observacions.** Aquesta espècie fructifica sobre rizomes de diferents gramínies (*Cynodon dactylon*, *Dactylis glomerata*, etc.) en prats eixuts un poc nitrificats (ACM208077 i ACM215023), de vegades sobre sòls sorrencs (ACM218028 i ACM218038). Els basidiomes solen créixer fasciculats en grups de 4 a 5 exemplars. Les mostres observades sempre s'han recollit el mes de setembre després d'un període de pluges continuat i de certa intensitat; PÉREZ DE GREGORIO & LÓPEZ (2019) assenyalen una recol·lecta en el mes de novembre. A banda d'aquesta fenologia més tardana les dades sobre l'ecologia i el tipus de creixement concorden amb les nostres. Descrita originalment per MAIRE com una varietat de *Marasmiellus trabutii* (Maire) Singer; CONTU (1991) l'eleva a la categoria d'espècie, fet que BON (1999) li donà suport amb el comentari "sembla inversemblant que la forma bispòrica tinga les espores menors que el tipus". Els trets diferencials d'aquesta espècie són: els basidis bispòrics, l'amplària (6–9.2  $\mu\text{m}$ , Me = 7.7  $\mu\text{m}$ ) de les espores ovoides a sublamigdaliformes i les tonalitats verdoses de l'estípit (ANTONIN & NOORDERLOOS 2010). De *M. trabutii* se'n separa pels seus basidis bispòrics, la trama laminar no gelatinitzada, les espores molt més curtes i més amples, a banda de la presència de tons verdosos a l'estípit i una ecologia no halòfila (PÉREZ DE GREGORIO & LÓPEZ 2019). *Marasmiellus tricolor* var. *graminis* (Murrill) Singer de morfologia externa i ecologia semblant, té els basidis tetraespòrics, les espores molt més estretes (fins 6.5  $\mu\text{m}$ ), els caulocistidis molt diverticulats i sense tonalitats verdoses a l'estípit (PÉREZ DE GREGORIO & LÓPEZ 2019). A la Península Ibèrica sols coneixem dues cites una a Girona i l'altra a Ciudad Real (PÉREZ DE GREGORIO & LÓPEZ 2019). Evidentment, les mostres recollides constitueixen una novetat per les terres valencianes.

***Marasmiellus phaeomarasmioides*** G. Moreno, Heykoop, Esteve-Rav. & E. Horak, *Persoonia* 16 (3): 405 (1997)

Codi MYCOBANK: MB442406

**Material estudiat.** València, Bocairent, camí de la Boquera, 30SYH1190, 920 msnm, dispersos en el ritidoma de *Juniperus oxycedrus* molt humit, 8/03/2021, ACM221031.

**Observacions.** S'aporta una nova recol·lecta per a la serra de Mariola a les ja publicades a CONCA ET AL. (2020); com als casos anteriors l'hàbitat d'escorça molt humida i protegida del vent de càdec ( *Juniperus oxycedrus* ). Igualment els exemplars eren molt menuts, d'uns 3 mm el més gros.

### ***Marasmius epodius* Bres., *Fung. trident.* 1 (6-7): 88 (1887)**

= *Marasmius anomalus* Lasch

Codi MYCOBANK: MB450923

Figura 10

**Descripció macroscòpica.** Píleu de 0.4–1 cm de diàmetre, d'hemisfèric a convex, lleugerament deprimat al centre, radialment solcat. Marge recte. Superfície mat, de llisa a finament tomentosa, de color ocre fosc, marró avellana a marró castanya, amb el centre, més fosc, ocasionalment amb cert reflex lila. Làmines espaiades, L = 8–19, l = 0(1), adnates, de vegades lleugerament escotades, amples, rectes, de color crema. Aresta recta i un pèl més fosca. Estípit de 2.5–3 × 0.02–0, cm, cilíndric, filiforme, igual a lleugerament més ample a la base. Superfície llisa, un poc tomentosa a la base pels restes de miceli. lluenteta, blanquinosa a crema l'apex, després d'una estreta banda groga, passa a marró taronja, marró rogenc i, fins i tot, a marró fosc amb un cert reflex lila. Carn molt escassa concolor amb la superfície, sense olor ni sabor significatius.

**Descripció microscòpica.** Espores llises, cilíndriques, en forma de llàgrima allargada, no amiloides, de (11.6)13.2–15.8(18.1) × (2.8)3–4.1(4.4) µm, Me = 14.4 × 3.6 µm, Q = (3.2)3.5–4.8(5.5), Qe = 4.1, N = 51. Basidis claviformes generalment tetraespòrics, rarament bispòrics, de 18–25 × 6–7 µm. Queilocistidis en brotxa, de cilíndrics a claviformes amb les ramificacions curtes, denses i ocasionalment, acolorides. De 15–25 × 5–8 µm. Pleurocistidis fusiformes, allargats, de 30–42 × 6–8 µm. Cutícula formada per una himenoderma de cèl·lules claviformes a cilíndriques, amb l'apex cobert de ramificacions amb la paret fina i hialina a la base, grossa i acolorida de groc grisenc a l'apex, ramificacions curtes cilíndricosinuoses i groc-grisenques, de 15–20 × 5–10 µm.

**Material estudiat.** València, Bocairent, el Portell, 30SYH0790, 840 msnm, sobre fulles d'estepera (*Cistus albidus*) i altres arbusts, 8/09/2015, ACM215022.

*Ibidem*, el Portell, 30SYH0891, 855 msnm, dispersos entre l'herba i les agulles de pi, 21/10/2018, ACM218068. Alacant, Alcoi, la Menora, 30SYH0784, 900 msnm, gregaris a solitaris en prat, 12/11/2018, ACM218098.

**Observacions.** Aquesta espècie ja fou citada per MALENÇON & BERTAULT (1971) de la Devesa de l'Albufera. *Marasmius ventalloi* Singer és una espècie semblant, que se separa per la presència de color groc a les làmines i part superior de l'estípit, aquest darrer esdevé verd en assecar-se (BON 1999; ANTONIN & NOORDERLOOS 2010).



Figura 10. *Marasmius epodius* (ACM 218068). A: Carpòfors. B: Cutícula × 1000. C: Espores × 1000.

***Mycena amicta* (Fr.) Quél., *Mém. Soc. Émul. Montbéliard*, Sér. 2 5: 243 (1872)**

Codi MYCOBANK: MB220029

Figura 11A

**Material estudiat.** València, Bocairent, Ermita de Sant Jaume, 30SYH0892, 720 msnm, gregaris sobre escorça de pi i restes de carrasca, 23/12/2020, FMT00142020M.

**Observacions.** *Mycena amicta* presenta unes característiques macroscòpiques que faciliten la seua identificació. La base del peu presenta una tonalitat blava tirant a verdosa característica, amb una corba del peu també significativa. El capell també presenta certa coloració un tant verd oliva que en l'edat, el marge es tiny, també de blau verdós. Citada als indrets de la Serra d'Énguera en bosc de *Pinus halepensis* (MARTÍNEZ 2013), a la Font Roja (CONCA ET AL. 2020) i la Devesa de l'Albufera en *Pinus pinea* (CONCA ET AL. 2014).

***Mycena corynephora* Maas Geest., *Proceedings van de Koninklijke Nederlandse Akademie van Wetenschappen Secció C* 86 (3): 407 (1983)**

Codi MYCOBANK: MB108244

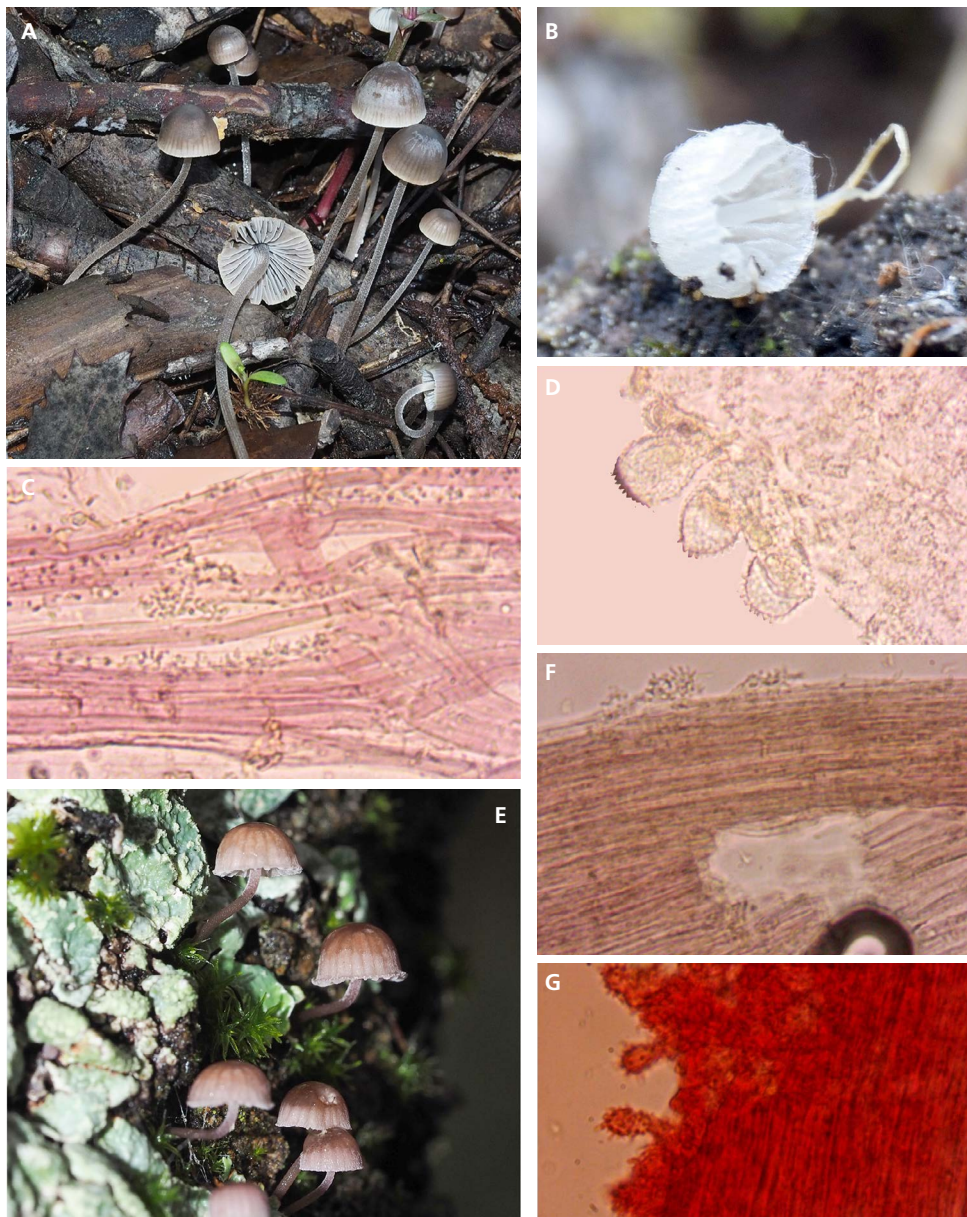
Figura 11B-D

**Descripció macroscòpica.** Píleu de 3 mm de diàmetre, semiesfèric, cònic, estriat, blanc pur i purpuraci. Làmines L = 12–13, I = 0–1 que arriben a l'estípit, ascendents, àmpliament adnates, decurrents amb una dent, blanques amb vora concolor. Estípit 8–11 × 0.5 mm, blanc, pruinós, corbat. Carn exigua. Olor no apreciada.

**Descripció microscòpica.** Espores de 6–10 × 6–8 µm, de globoses a subgloboses, llises, amiloides. Basidis 18–28 × 9–12(14) µm, claviformes, de 4 espores amb esterigmes de fins a 4 µm de llarg. Queilocistidis 15–40 × 7–25 µm, claviformes, amb moltes ramificacions curtes que cobreixen tot el cistidi. Pleurocistidis absents. Caulocistidis allargats de claviformes però, fins i tot, cilíndrics coberts també de ramificacions curtes.

**Material estudiat.** València, Bocairent, Ermita de Sant Jaume, 30SYH0892, 740 msnm, solitària sobre escorça de carrasca, 08/02/2021, FMT00022021M.

**Observacions.** La *Mycena corynephora* es diferencia de la *M. adscendens* pels queilocistidis, fonamentalment, que són fusiformes o langeniformes i no solen



**Figura 11.** *Mycena amicta* (FMT00142020M). **A:** Carpòfors (foto de Fernando García). *Mycena corynephora* (FMT00022021M, fotos de F.P. Martínez Tolosa). **B:** Carpòfors. **C:** Caulocistidis. **D:** Queilocistidis. *Mycena meliigena* (FMT00072020M, fotos de F.P. Martínez Tolosa). **E:** Carpòfors. **F:** Caulocistidis. **G:** Queilocistidis.

estar completament coberts de ramificacions. Primera cita a la Comunitat Valenciana.

***Mycena meliigena* (Berk. & Cooke) Sacc., *Sylloge Fungorum* 5: 302 (1887)**

Codi MYCOBANK: MB237287

Figura 11E-G

**Descripció macroscòpica.** Píleu de 5–10 mm de diàmetre, semiesfèric, parabòlic, pruïnós, vermell vinós, rosa marronós amb tonalitats violeta. Làmines 5–14(16) que arriben a l'estípit, amples i ben formades, ascendents, adnates, més o menys decurrent per una dent menuda, al principi concolor amb el píleu, i que passen a blanc. Estípit 3(4) –20 × 0.2–1 mm, corbat, pruïnós, concolor amb el píleu, la base densament coberta de llargues fibril·les blanques. Sense olor.

**Descripció microscòpica.** Espores de basidis de 4 espores de 8–11(12) × 8–10 µm, més grosses les de basidis bispòrics, globoses a subgloboses, amiloides. Basidis 30–36 × 10–13 µm, claviformes. Queilocistidis 15–40 × 6–12 µm, barrejats amb els basidis, clavats, fibulats o no, coberts amb ramificacions llargues, de fins a 11 µm. Pleurocistidis absents. Caulocistidis en brotxa, amb les ramificacions més llargues que als queilocistidis.

**Material estudiat.** València, Bocairent, 30SYH0892, 720 msmn, solitari sobre fusta morta de carrasca (*Quercus ilex*), 23/12/2020, FMT00072020M.

**Observacions.** Les diferències amb la *M. supina*, com és un clàssic ja a la literatura de la secció, venen determinades per la llargària de les ramificacions dels queilocistidis i caulocistidis fonamentalment, i la coloració del capell, si bé per l'edat poden portar a confusió.

***Mycena pseudoclavicularis* A.H. Sm., *North Amer. Species of Mycena*: 374 (1947)**

Codi MYCOBANK: MB288531

Figura 12G-H

**Material estudiat.** València, Bocairent, senda pel mas de Montserrades, 30SYH1093, 740 msnm, un únic exemplars en una clariana amb estepes, ginebres en zona de pinar-carrascar, 10/12/2020, ACM220074.



**Observacions.** S'afegeix una mostra més d'aquesta rara *Mycena*, a les ja publicades en diferents punts del PN de la serra de Mariola, i que per ara constitueixen les úniques referències a l'estat espanyol (MARTÍNEZ 2017).

***Mycena pseudoquerciphila* Robich, *Mycena d'Europa* 2: 1367 (2016)**

Codi MYCOBANK: MB804213

Figura 12A-C

**Descripció macroscòpica.** Píveu de 2 mm, hemisfèric, estriat per transparència. Color blanquinós, obscur quasi negre al centre. Amb la lupa pot observar-se que és pruïnós. Làmines L = 10–12, I = 0–1, espaiades, amples, clarament ascendents i adnates. Blanques. Amb l'aresta blanca. Estípit 12 × 0.2–0.5 mm, uniforme, pruïnós i un poc gris clar en la base que no presenta quasi pel micelar. Carn quasi inexistent.

**Descripció microscòpica.** Espores de 5–6 × 10–13 µm, el·lipsoïdes i amiloides. Basidis 15–17(18) × 7–8 µm. Bispòrics i amb els esterigmes llargs de fins a 7.5–8 µm, claviformes. Queilocistidis 24–53 × 7–23 µm, llisos, de diferents formes que va dels subcilíndrics, claviformes, subfusiformes, amb la base més ampla. Pleurocistidis no observats. Hifes externes del peu amb pèls (o similars a pèls, segons ROBICH 2016).

**Material estudiat.** València, Bocairent, Sant Jaume 30SYH0892, 720 msmn, solitari sobre fusta morta de carrasca (*Quercus ilex*), 23/12/2020, FMT00062020M.

**Observacions.** Primera cita per a la Península ibèrica. Les coincidències amb ROBICH (2016) són quasi absolutes llevat de alguna mesura amb diferència insignificant. Únicament hem pogut estudiar un únic exemplar, cosa que fa més difícil replegar informació per al seu estudi.

***Mycena supina* (Fr.) P. Kumm., *Der Führer in die Pilzkunde*: 108 (1871)**

Codi MYCOBANK: MB234851

Figura 12D-F

**Descripció macroscòpica.** Píveus de 2 a 7 mm de diàmetre, semiesfèric, de parabòlic a convex, pruïnós, glabrescent, solcat, estriat per transparència, al principi marró sèpia amb el centre marró sèpia fosc, esdevenint marró gris pàl·lid més o menys amb un centre marró sèpia i un marge més pàl·lid amb el centre més fosc. Làmines 11–17 que arriben clarament a l'estípit, ascendents a



Figura 12. *Mycena pseudoquerciphila* (FMT00062020M, fotos de F.P. Martínez Tolosa). A i B: Carpòfors. C: Queilocistidis. *Mycena supina* (FMT00062020M, fotos de F.P. Martínez Tolosa). D: Carpòfors. E: Caulocistidis. F: Queilocistidis. *Mycena pseudoclavicularis* (ACM220074). G: Carpòfors. H: Queilocistidis  $\times 1000$ .

subhoritzontals, adnates, decurrents per una dent, de color gris pàl·lid a blanc grisenc, vora més blanca. Estípit 7–15 × 0.5–1 mm, buit, un poc eixamplat a la base, minuciosament pubescent, glabres, al principi marró, densament coberta de fibril·les blanques i llargues.

**Descripció microscòpica.** Espores de 6–9 × 7–10 µm, de globoses a subgloboses, llises, amiloides. Basidis 25–35 × 10–12.5µm, claviformes, tetraespòrics, amb esterigmes de fins a 6 µm de llarg. Queilocistidis 15–30 × 8–18.5 µm, claviformes, recobert de ramificacions curtes i no massa nombroses, espaiades. Pleurocistidis absents. Caulocistidis de 35 × 14 µm, allargats, recoberts de diminutes protuberàncies poc denses.

**Material estudiat.** València, Bocairent, obaga del Pla d'Aparici, 30SYH1290, 915 msnm, gregaris sobre tronc viu de carrasca (*Quercus ilex* subsp. *rotundifolia*), 8/03/2021, FMT00052021M.

**Observacions.** Primera cita per a la Comunitat Valenciana.

### ***Myxarium hyalinum* (Pers.) Donk, *Persoonia* 4 (3): 233 (1966)**

Codi MYCOBANK: MB335022

Figura 13A-B

**Descripció macroscòpica.** Fructificacions gelatinoses, de globoses a quasi hemisfèriques, amb la superfície aplanada, ondulada o cerebriforme, de 0.3 a 1 cm de diàmetre. Superfície himenial llisa, lluenta de color brunenc. Carn gelatinosa, translúcida, entre incolora a blanquinosa, crema, de vegades amb un reflex rosa. Quan s'asseca forma fructificacions planes i llises de color beix a gris-marró. Sense olor remarcable.

**Descripció microscòpica.** espores cilíndriques, lleugerament al·lantoides, hialines, de (10)11–15.4(16.5) × (3.5)4–5.6(6) µm, Me = 13.4 × 4.9 µm, Q = (2)2.4–3(3.3), Qe = 2.7. Hipobasidis llargament pedunculats, separats per un septe dels vers basidis, aquests de piriformes a ovo-el·líptics, de 13–15.6 × 8.4–11.4 µm, segmentats longitudinalment en quatre epibasidis. Hifidies ramificats estrets, hialins, de paret prima, d'1–2 µm d'amplària. Hifes de la trama hialines, de paret prima, septades, fibulades d'1–4 µm de diàmetre.

**Material estudiat.** València, Bocairent, el Carrascalet, senda de Castalla, 30SYH0893, 670 msnm, gregaris sobre un tronc pelat i molt humit de carrasca (*Quercus ilex* subsp. *ballota*), 9/07/2021, ACM221032.



Figura 13. *Myxarium hyalinum* (ACM221032). A: Carpòfors. B: Hipobasidis × 1000. *Perenniporia meridionalis* (ACM216069). C: Carpòfors. D: Espores × 1000. *Phaeoclavulina quercus-ilicis* (ACM216063). E: Carpòfors. F: Espores × 1000.

**Observacions.** Hem optat per *Myxarium* front a *Exidia* per la forma dels basidis llargament estipitats, amb el peu separat dels vers basidis mitjançant un septe sense fíbules mentre que aquest septe n'he presenta en *Exidia* (JULICH 1989; LAESOE & PETERSEN 2019). Les mesures esporals de la mostra són força més grans que les assenyalades per SIQUIER & CONSTANTINO (2008) i SPIRIN ET AL. (2018), però són molt semblants a les presentades per RUBIO (2019). L'ecologia de la col·lecció coincideix amb les de les Illes Balears, troncs o branques de *Quercus*, ben amarats d'aigua (SIQUIER & CONSTANTINO 2008); RUBIO (2019) la cita sobre *Salix* i SPIRIN ET AL. (2018) sobre *Tilia*.

***Perenniporia meridionalis*** Decock & Stalpers, *Taxon* 55 (3): 769 (2006)

Codi MYCOBANK: MB500704

Figura 13 C-D

**Descripció macroscòpica.** Carpòfor anual, resupinat, de forma més o menys rectangular de 3–3.5 × 1.2–1.6 cm. Himeni tubular format per tubs simples, d'uns 2 mm d'alçada, blancs. Porus d'arrodonits a poligonals, de paret grossa, 3–4/mm, blanquinosos amb el temps crema groguenc. Context molt prim (+/- 1 mm), blanet, però coriàci quan s'asseca, de color crema, sense olor ni sabor diferenciats. Marge poc diferenciats, els porus apleguen fins a ell.

**Descripció microscòpica.** Espores llises, d'el·lipsoides a oblongues en visió lateral, ovoides en visió frontal, truncades per la presència d'un porus germinatiu ample i central, de paret grossa, dextrinoides, de (6.3)6.6–7.9(8.1) × (4.2)4.7–5.6(6.5) µm, Me = 7.2 × 5.1 µm, Q = (1.2)1.3–1.6(1.7), Qe = 1.4, N = 50. Trama formada per hifes esquelètiques de paret grossa, ni amiloides ni dextrinoides, de dues classes unes més grosses (fins 3.8 µm) i més de contorn recte i, d'altres, més primes (1–2 µm) de contorn bonyut i ramificades. Hifes generatrius de paret prima i fibulades amb un diàmetre aproximat d'1 µm.

**Material estudiat.** València, Bocairent, pla de Nones, 30SYH0790, 830 msnm, dosexemplars resupinats sobre una branca de romer (*Salvia rosmarinus*) o argelaga (*Ulex parviflorus*), 10/12/2016, ACM216069.

**Observacions.** L'ecologia de la mostra, una branca de romer (*Salvia rosmarinus*) en zona mediterrània, és típica de *P. rosmarini* A. David & Malençon però el nombre de porus per mil·límetre i les dimensions esporals ho són de *P. meridionalis* (RYVARDEN & MELÓ 2017; BERNICCHIA & GORJÓN 2020) motiu pel qual ens hem decantat per aquest tàxon. Novetat per a la micobiota valenciana.

***Phaeoclavulina curta* (Fr.) Giachini, *Mycotaxon* 115: 190 (2011).**

= *Ramaria curta* (Fr.) Schild

Codi MYCOBANK: MB512946

Figura 14A

**Material estudiat.** València, Bocairent, obaga Pla d'Aparici, 30SYH1290, 910 msnm, dispersos entre la molsa, 14/12/2016, ACM216095. Alcoi, la Menora. 30SYH0784, 910 msnm, dispersos entre la molsa sota carrasques i pins, 14/12/2016, ACM216109.

**Observacions.** Aquesta *Phaeoclavulina* es caracteritza pel seu port menut, les espores més menudes del gènere i el creixement sota coníferes (DANIÈLS & TELLERIA 2007). Citada al PN del Carrascar de la Font Roja (CONCA ET AL. 2020), es troba en pinars o boscos mixtos de pinar-carrascar rics amb molsa.

***Phaeoclavulina quercus-ilicis* (Schild) Giachini, *Mycotaxon* 115: 194 (2011)**

= *Ramaria clavarioides* Schild

Codi MYCOBANK: MB512964.

Figura 13E-F

**Descripció macroscòpica.** CARPÒFORS DE 3-4 × 0.7-2.5 µm, claviformes a espatulats, truncats a l'apex, amb ramificacions curtes a la part superior, de vegades en forma d'estrela. Superfície finament rugulosa longitudinalment, de color ocre groguenc amb la base de blanquinosa a crema. Rizoides blanquinosos. Context blanquinós, de fibrosa a coriàcia, d'olor terrosa i sabor a un regust amarescent. Esporada ocre més o menys ataronjada.

**Descripció microscòpica.** Espores el·lipsoïdes, apiculades, espinoses, espines de 0.7-0.9 µm i concentrades a la part apical, de (5.8)6.1-6.8(7.2) × (2.7)3-3.4(4) µm, Me = 6.5 × 3.2 µm, Q = (1.7)1.8-23.(2.5), Qe = 2, N = 41. Basidis claviformes, tetraespòrics, fibulats a la base, de 50-55 × 6-7 µm. Trama monomítica amb hifes fibulades. Cordons micelars amb cristalls de tipus amorf.

**Material estudiat.** València, Bocairent, els Collets, 30SYH1292, 910 msnm, gregaris sobre terra i restes vegetals, 7/12/2016, ACM216063.

**Observacions.** Hem seguit el criteri de DANIÈLS (com. pers.) que sinomitza *Phaeoclavulina quercus-ilicis* i *P. clavarioides* (Schild) Giachini (Schild) Giachini

en no observar diferències en els tipus nomenclaturals i ser una d'elles un estat immadur de l'altra. Els nostres exemplars concorden amb la descripció de DANIÈLS (2018), encara que el rang esporal és major. *Phaeoclavulina quercus-ilicis* es caracteritza pels seus basidiomes claviformes i truncats amb ramificacions curtes i escasses i les espores espinoses d'una longitud mitjana major de 5 µm (DANIÈLS & TELLERIA 2007). Aquesta cita constitueix una novetat per a la micobiota valenciana.

***Phaeomarasmius erinaceus*** (Fr.) Scherff. ex Romagn., *Revue Mycol.*, Paris 2 (5): 195 (1937)

Codi MYCOBANK: MB102851

Figura 14B

**Material estudiat.** València, Bocairent, Pla d'Aparici cap a camí de la Boquera, 30SYH1190, 905 msnm, dispersos sobre branques de carrasca caigudes a terra, 8/05/2021, ACM221028.

**Observacions.** Espècie ja citada de la serra del Carrascar de la Font Roja (CONCA ET AL. 1997) on és relativament abundant, però que fins ara no havia estat trobada a la serra de Mariola, en tots dos casos l'hàbitat és el mateix, branques caigudes de carrasca (*Quercus ilex* subsp. *ballota*). Per a BREITENBACH & KRÄNZLIN (2000) i EYSSARTIER & ROUX (2017), els basidis són bispòrics, però per a MORENO ET AL. (1986) són majoritàriament tetraespòrics, amb presència de basidis bispòrics; la col·lecció estudiada presenta basidis majoritàriament bispòrics, amb escassos basidis tetraespòrics. Les espores, grogoses al microscopi, són heteromorfes, i oscil·len entre amplament el·líptiques a simplement el·líptiques, de dimensions (8.7)10–12.1(12.8) × (6.4)7–8.2(8.9) µm, Me = 10.9 × 7.4 µm, Q = (1.1)1.3–1.5(1.7) Qe = 1.5, N = 47, d'acord amb les de la bibliografia consultada.

***Radulomyces confluens*** (Fr.) M.P. Christ., *Dansk bot. Ark.* 19 (no. 2): 230 (1960)

= *Cerocorticium confluens* (Fr.) Jülich & Stalpers

Codi MYCOBANK: MB338148

Figura 14C

**Descripció macroscòpica.** Basidiomes resupinats, inicialment arrodonida a rectangulars, posteriorment fusionats i allargats, de fins 13 cm de longitud,



Figura 14. *Phaeoclavulina curta* (ACM216109). A: Carpòfors. *Phaeomarasmius erinaceus* (ACM221028). B: Carpòfors. *Radulomyces confluens* (ACM216089). C: Carpòfors. *Ramaria gracilis* (ACM211136). D: Carpòfors. *Saproamanita vittadinii* (ACM219025). E: Carpòfors. F: Espores × 1000.



adnats. Marge irregular net. Superfície irregularment banyuda de consistència cèria, cartilaginosa, amb aspecte granellut, higròfana, de color blanc o crema amb un reflex verd a blavós en estat humit passa a gris verdós o gris ocre en assecar-se. Context ceri a cartilaginós, molt prim, d'olor a fenol en fregar-la.

**Descripció microscòpica.** Espores d'amplament el·lipsoides a globoses, llises, amb paret de prima a lleugerament grossa, no amiloides, de  $7-9 \times 6-8 \mu\text{m}$ . Sistema d'hifes monomític amb hifes cilíndriques, de paret prima a grossa, hialines, septades i fibulades, de  $2-3 \mu\text{m}$  de diàmetre.

**Material estudiat.** València, Bocairent, obaga pla d'Aparici, 30SYH1290, 910 msnm, resupinat sobre una branca de carrasca pelada i en terra, 12/12/2016, ACM216089.

**Observacions.** Els exemplars recollits concorden amb les descripcions de BREITENBACH & KRÄNZLIN (1986), JULICH (1989) i BERNICCHIA & GORJÓN (2010). La característica olor de fenol o hospital únicament es assenyalada per JAVIER UBILLOS en <http://www.fichasmicologicas.com/?micos=1&alf=c&art=534>. Aquesta espècie també s'ha trobat amb la mateixa ecologia al PN del Carrascar de la Font Roja (CONCA ET AL. 1997).

***Ramaria gracilis* (Pers.) Quél., Fl. mycol. France (Paris): 463 (1888).**

Codi MYCOBANK: MB414479

Figura 14D

**Material estudiat.** València, Bocairent, obaga Pla d'Aparici, 30SYH1290, 910 msnm, dispersos entre la molsa sota pins i carrasques, 14/12/2016, ACM216094. *Ibidem*, alt de Camarassa, 30SYH1392, 910 msnm, solitària sobre la molsa, 7/12/2011, ACM211136.

**Observacions.** *Ramaria gracilis* es caracteritza macroscòpicament pels seus basidiomes arborescents, molt ramificats, d'alçada mitjana, generalment blanquinosos, i olor clarament anisat en fresc. Microscòpicament les espores berrugoses i menudes ( $Me = 5.4 \times 3.1 \mu\text{m}$  per ACM216094), el sistema hifal és dimític tant a la trama com als cordons micelars (DANIÈLS & TELLERIA 2007; DANIÈLS 2018). Espècie ja citada per MALENÇON & BERTAULT (1971) a Pinet, posteriorment ha esta referenciada al PN del Carrascar de la Font Roja (CONCA ET AL. 1997) i a "El Toro" a Castelló (MIR & ATIENZA 2009).

***Roridomyces roridus*** (Fr.) Rexer, *Die Gattung Mycena s.l.*, Studien zu Ihrer Anatomie, Morphologie und Systematik (Tübingen): 132 (1994).

= *Mycena rorida* (Fr.) Quél.

Codi MYCOBANK: MB483233

**Material estudiat.** València, Bocairent, obaga alt de Camarassa, 30SYH1392, 920 msnm, dispersos sobre fulles de carrasca, 20/12/2019, ACM219095.

**Observacions.** S'aporta una nova recol·lecta a la ja existent d'aquesta espècie referenciada a MARTÍNEZ (2016).

***Saproamanita vittadinii*** (Moretti) Redhead, Vizzini, Drehmel & Contu, *IMA Fungus* 7 (1): 124 (2016)

= *Amanita vittadinii* (Moretti) Vittad.

Codi MYCOBANK: MB816367

Figura 14E-F

**Descripció macroscòpica.** Píleu de 6 a 8 cm, de convex passa ràpidament a pla convex i lleugerament deprimit al centre, puntualment s'observa algun exemplar vell deprimit. Marge excedent, apendiculat i curtament estriat (< 0.5 cm). Superfície recoberta de berrugues d'aplanades a piramidals, lleugerament alçades i caduques a la zona central i aplanades cap a la vora, de color crema a gris, que s'enfosqueix en envellir. Cutícula no separable blanquinosa. Làmines moderadament atapeïdes (12–14/cm), l = 1–3, lliures ventrudes, amples, fins 1.4 cm, blanquinoses a crema, groguegen en envellir. Aresta concolor i fimbriada a la lupa. Estípit de 5–7.5 × 1.2(1.3–1.6) cm, cilíndric, igual, a bulbós radicant a la part inferior, fàcilment separable del píleu, recte o lleugerament colzat cap a la base, inicialment ple, finalment fistulós. Superfície llisa i fibril·losa per damunt l'anell, per sota recoberta per escates sobreixents recorbades cap a la base, sobre un fons blanquinós Volva dissociada en esquames de disposició concèntrica, que s'allarguen fins a l'anell, recorbades, de color crema a gris. Anell descendent, en faldeta, de blanquinós a bru, llis i estriat longitudinalment per damunt, recobert per berrugues blanquinoses a brunes del vel general a la part inferior. Carn blaneta al píleu, fibrosa a l'estípit, Blanquinosa, esdevé crema en tallar-la, d'olor suau i sabor dolç. Esporada blanca.

**Descripció microscòpica.** Espores llises, d'el·lipsoides a oblongues, de vegades més eixamplades cap un extrem, amiloides, de (9.9)11.1–12.3(13) × (6.9)7.1–

8.3(9.1)  $\mu\text{m}$ , Me = 11.8  $\times$  7.7  $\mu\text{m}$ , Q = (1.3)1.4–1.7(1.8), Qe = 1.5, N = 39. Basidis claviformes, tetraesporics, fibulats a la base, de 40–55  $\times$  12–15  $\mu\text{m}$ , amb esterigmes de 4–6  $\mu\text{m}$ . Vel general format per cadenes d'hifes predominantment fusiformes, encara que també cilíndriques.

**Material estudiat.** València, Bocairent, Mingol, 30SYH1091, 910 msnm, gregaris en un prats prop d'una antiga era, substrat calcari, 22/09/2019, leg. Rosa Ruiz, ACM219025.

**Observacions.** El gènere *Saproamanita* Redhead, Vizzini, Drehmel & Contu, inclou aquelles espècies del grup de les amanites de comportament saprotròfic, i que per tant les podem trobar en prats, lluny de vegetació llenyosa. Aquest nom genèric substitueix a gèneres *Lepidella* E.-J. Gilbert i *Aspidella* E.-J. Gilbert. La separació entre *S. codinae* (Maire) Redhead, Vizzini, Drehmel & Contu i *S. vittadini* és prou complexa, i es realitza en base al color de les escates del capell, més aplanades i prompte ocres a marrons, per acabar amb un reflex vinós en el cas de *S. codinae*, mentre que a *S. vittadini* es mantenen blanques durant molt de temps, grisenques al final i no són tan aplanades; a banda *S. codinae* és una espècie més meridional i termòfila (NEVILLE & POUMARAT 2004; EYSSARTIER & ROUX 2017). Donada la dificultat de separació els autors anteriorment esmentats no les consideren espècies independents sinó varietats de *A. vittadini*. PÉREZ DE GREGORIO & CARBÓ (2001) consideren que *A. vittadini* és un bolet molt més gros, les esquames són còniques i blanquinoses, les hifes presenten fíbules i té tendència més ruderal. La col·lecció estudiada té les esquames piramidals i blanquinoses fins i tot als exemplars vells, les hifes presenten fíbules i l'ambient on es trobava era prou ruderal, ja que estava a les caigudes de l'era d'un mas mig enderrocat, fets pels quals hem optat per *S. vittadinii*, malgrat tractar-se d'exemplars mitjans. Aquest tàxon constitueix una novetat per al País Valencià.

### *Sarcodon cyrneus* Maas Geest., *Persoonia* 8 (2): 166 (1975)

Codi MycoBank: MB493246.

Figura 15A

**Material estudiat.** València, Bocairent, el Portell, 30SYH0891, 850 msnm, solitari sota *Quercus ilex* i *Pinus halepensis*, 23/11/2003, ACM203156. *Ibidem*, Xipreret, 30SYH1192, 900 msnm, gregaris sota *Quercus* i *Pinus*, 29/10/2007, ACM207141, FdFCV 819. *Ibidem*, Alt de Camarasa, 30SYH1392, 930 msnm, un parell d'exemplars sota carrasca amb *Pinus halepensis*, substrat calcari, 19/12/2019, ACM219088.

**Observacions.** Els aculis blancs i curts de fins  $3 \times 0.3$  mm, les tonalitats marró vinoses de la carn pileal, el viratge cap a gris-verdós o olivaci de la base de l'estípit, el sabor amarg, les dimensions esporals i, sobretot, l'hàbitat sota *Quercus ilex* sobre substrat calcari; trets específics de *S. cyrneus* (MARCHAND 1976; PALAZÓN 2001; ANTONINI & ANTONINI 2002) i presents a les mostres estudiades ha provocat el canvi de nom en les mostres inicialment determinades com a *S. scabrosus* (Peck) Banker. Aquest bolet també està present al PN del Carrascar de la Font Roja (CONCA ET AL. 2020).

***Scytinostroma alutum* Lanq., Bull. mens. Soc. linn. Lyon 53 (5): 187 (1984)**

Codi MYCOBANK: MB536481

Figura 15B-C

**Descripción macroscòpica.** Basidiomes resupinats, anuals, de rectangulars a allargats, de fins  $10 \times 1.5$  cm. Marge blanquinós filamentós cotonós. Superfície bonyuda, de color crema a rosa grisenc, més gris cap a les vores. Context prim, de blanquinós a concolor. Esporada blanca, amiloide.

**Descripció microscòpica.** Espores globoses, llises, amb una gran gútula central i un apèndix cilíndric llarg i estret, amiloides, de  $(4.8)5.1-6.2(7) \times (4.3)5-6.1(6.2)$   $\mu\text{m}$ ,  $\text{Me} = 5.7 \times 5.5$   $\mu\text{m}$ ,  $\text{Q} = 1-1.1(1.2)$ ,  $\text{Qe} = 1$ ,  $\text{N} = 37$ . Basidis cilíndrics, allargats, amb 4 esterigmes de  $24-28 \times 4-5$   $\mu\text{m}$ . Gloeocistidis cilíndrics a subclaviformes, de paret prima, de  $29-43 \times 4-6$   $\mu\text{m}$ . Sistema dimític amb hifes esquelètiques de paret grossa, dextrinoides i d' $1.5-2.2$   $\mu\text{m}$  de diàmetre i hifes generatrius de paret prima, no septades i més amples ( $2-4$   $\mu\text{m}$ ). Terminacions hifals poc o no gens ramificades. Fíbules absents.

**Material estudiat.** València, Bocairent, la Mola, 30SYH1093, 705 msnm, resupinat sobre una branca caiguda, possiblement de romer (*Salvia rosmarinus*), 18/11/2020, ACM220037.

**Observacions.** *Scytinostroma hemidichophyticum* Pouzar, amb espores globoses i amiloides, se separa per tenir les terminacions de les hifes molt ramificades, l'olor de naftalina i tenir una distribució més septentrional creixent sobre planifolis i *Clematis vitalba* (BERNICCHIA & GORJÓN 2010). En PANCORBO ET AL. (2013) s'assenyala la presència sobre *Salvia rosmarinus*, com la mostra estudiada; el mateix arbust, *Cistus*, *Pistacia lentiscus* i *Quercus ilex* i *Q. pedunculata* són els hostes que indica BERNICCHIA & GORJÓN (2010). No existeixen cites d'aquesta espècie per les terres valencianes.



**Figura 15.** *Sarcodon cyrneus* (ACM219088). **A:** Carpòfors. *Scytinostroma alutum* (ACM220037). **B:** Espores  $\times 1000$ . **C:** Carpòfors. *Serpula lacrymans* (ACM220009). **D:** Espores  $\times 1000$ . **E i H:** Carpòfors. **F:** Hifes esquelètiques  $\times 1000$ . **G:** Hifes generatius  $\times 1000$ .

*Serpula lacrymans* (Wulfen) J. Schröt., in Cohn, *Krypt.-Fl. Schlesien* (Breslau) **3.1** (25–32): 466 (1888) [1889]

Codi MYCOBANK: MB102458

Figura 15D-H

**Descripció macroscòpica.** Fructificacions allargades, fins 10 × 2.5 cm, resupinades, però fàcilment separables del substrat, estretes d'uns 4 mm d'alçada màxima. Himeni meruloide, dentat laberíntic de fins a 3.5 cm d'altura, de color ocre amb reflexos olivacis, marró fosc en envellir. Marge blanquinós amb rizomorfs blancs. Context molt prim d'uns 0.5 mm, blanquinós, elàstic, d'olor fúngica o d'humitat.

**Descripció microscòpica.** Espores llises, de llargament el·líptiques a oblongues, grogues al microscopi, amb paret grossa de (7.4)8.3–9.6(10.3) × (4.8)5–6(6.6) µm, Me = 9 × 5.5 µm, Q = (1.4)1.5–1.8(1.9), Qe = 1.6, N = 40. Basidis cilíndrico-claviformes, generalment tetraespòrics, però també de bispòrics, fibulats a la base de 40–50 × 5–8 µm. Hifes generatrius cilíndriques, septades i fibulades, de 2–4 µm de diàmetre. Hifes esquelètiques, pigmentades, de paret estretament grossa, d'uns 4–5 µm de gruix; presents tant al context com als rizomorfs.

**Material estudiat.** València, Bocairent, Sant Jaume, 30SYH0892, 740 msnm, resupinat sobre branques i troncs de pi tallats, 9/02/2020, ACM220009.

**Observacions.** Encara que l'ecologia és més típica de *S. himantioides* (Fr.) P. Karst., aquesta espècie presenta uns basidiomes amb una alçada màxima de 2 mm i les hifes esquelètiques més estretes, amb un diàmetre mitjà de 2.5 µm (JULICH 1989; BERNICCHIA & GORJÓN 2010). L'alçada de les mostres recollides, 4 mm i un grossor entre 4 i 5 µm ha decantat la balança cap *S. lacrymans*, que, encara que rarament, també pot trobar-se en zones boscoses. Aquesta espècie constitueix una novetat per a la micobiota valenciana.

*Steccherinum oreophilum* Lindsey & Gilb., *Mycologia* **69** (1): 194 (1977)

Codi MYCOBANK: MB324031

Figura 16A-C i F

**Descripció macroscòpica.** Basidiomes menuts, el més gros d'1 × 0.5 cm, resupinats o efuso-reflexes, d'allargats a arrodonits, fàcilment separables del substrat. Part estèril cotonosa, irregular, blanca. Himeni hidnoide, format per agullons plans, denticulats a l'àpex, d'1 × 0.2 mm, blancs a crema. Marge blanc, fimbriat. Context molt prim, blanc cotonós.

**Descripció microscòpica.** Espores d'oblongues a cilíndriques, llises, no amiloides, de  $5.7\text{--}6.2(6.7) \times (2.8)3.1\text{--}3.5 \mu\text{m}$ , Me =  $6 \times 3.2 \mu\text{m}$ . Trama dimítica amb hifes generatrius de paret fina, septades i fibulades de  $2\text{--}3 \mu\text{m}$ , d'amplària, i hifes esquelètiques de paret grossa no septades, de  $2.5\text{--}5 \mu\text{m}$  de diàmetre. Pseudocistidis, semblants al lamprocistidis, que neixen de les hifes esquelètiques, amb la paret grossa i la porció apical incrustada de forma cilíndrica a cònica, de  $35\text{--}53 \times 9\text{--}13 \mu\text{m}$ .

**Material estudiat.** València, Bocairent, Sant Jaume, 30SYH0892, 695 msnm, resupinat sobre fusta morta i pelada possiblement de pi, 27/01/2021, ACM221015.

**Observacions.** Encara que macroscòpicament és molt semblant a *Irpex lacteus* (Fr.) Fr., els carpòfors de *Steccherinum oreophilum* són més menuts i les hifes generatrius presenten fíbules fet que no ocorre en *Irpex* (BERNICCHIA & GORJÓN 2010, 2020). Els autors citats assenyalen la seua presència en fusta de faig (*Fagus sylvatica*) o castanyer (*Castanea sativa*), la col·lecció que es presenta es trobava sobre fusta morta, possiblement de pi, en una zona de bosc mixt de carrasca i pi blanc (*Pinus halepensis*). No tenim constància de cites d'aquesta espècie al País Valencià.

***Tephroclybe anthracophila*** (Lasch) P.D. Orton, *Notes R. bot. Gdn Edinb.* **29** (1): 76 (1969).

Codi MYCOBANK: MB339942

Figura 16D

**Material estudiat.** València, Bocairent, Mingolet, 30SYH0991, 860 msnm, gregaris sobre restes d'una foguera, 14/12/2016, ACM216081.

**Observacions.** Bolet típic dels cremats, que hem localitzat sobre les restes carbonitzades d'una foguera. La microscòpia i la macròscopia es concordant amb la descrita per al PN de la Devesa de l'Albufera (CONCA ET AL. 2015).

***Terana coerulea*** (Lam.) Kuntze, *Revis. gen. pl.* (Leipzig) **2**: 872 (1891).

= *Pulcherricium coeruleum* (Lam.) Parmasto

Codi MYCOBANK: MB 449552

Figura 16G

**Material estudiat.** València, Bocairent, Sant Jaume, 30SYH0892, 740 msnm, resupinat sobre una rameta caiguda a terra, 4/02/21, leg. F. García, ACM221013.

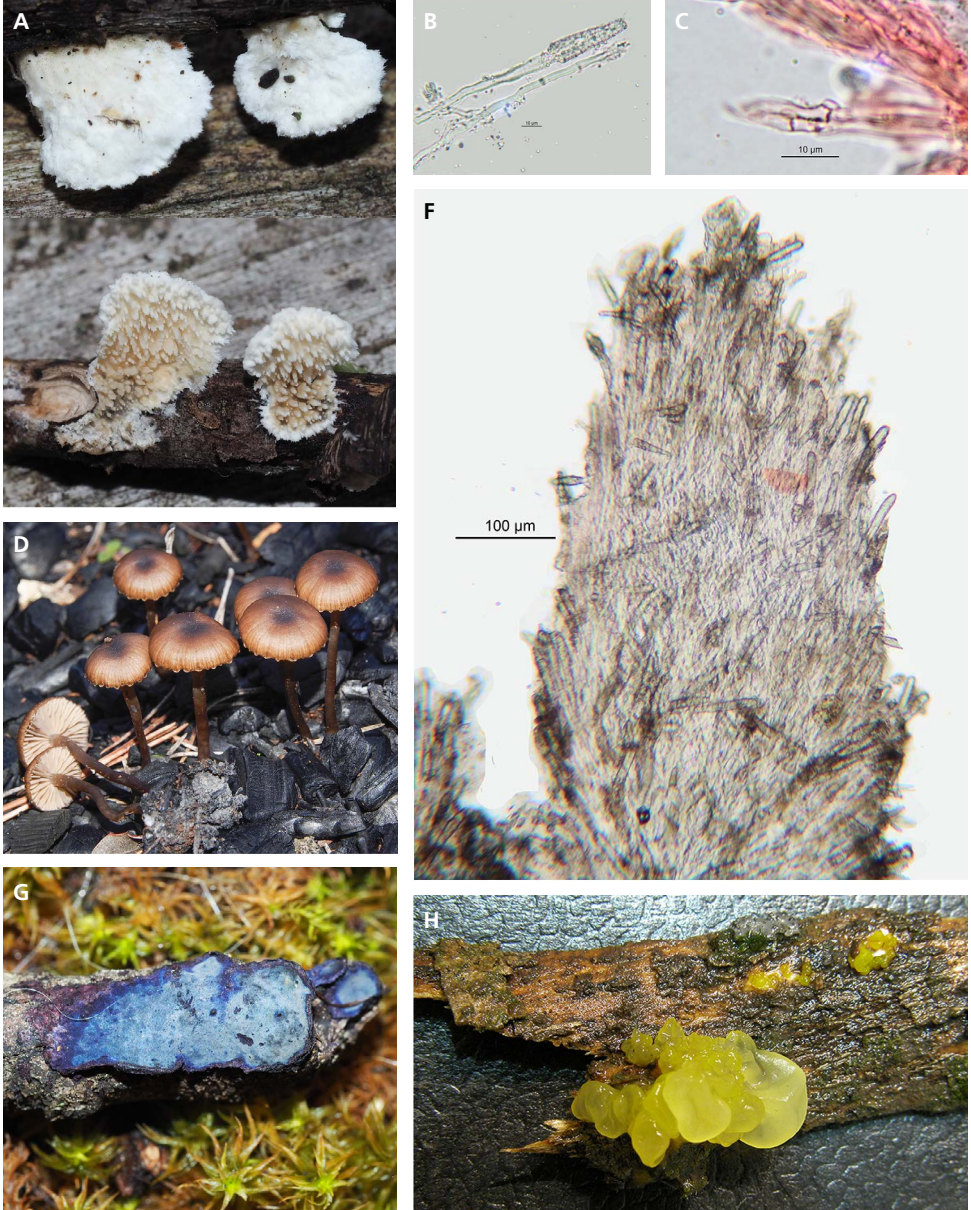


Figura 16. *Steccherinum oreophilum* (ACM221015). A: Carpòfors. B: Pseudocistidis  $\times 600$ . C: Hifes generatrius  $\times 1000$ . F: Agulló  $\times 100$ . *Tephroclybe anthracophila* (ACM216081). D: Carpòfors. *Terana coerulea* (ACM221013). G: Carpòfors. *Tremella mesenterica* (ACM208082). H: Carpòfors.



**Observacions.** Inconfusible espècie de color blau fosc, que trobem a la part inferior de les branques i rames de carrasca (*Quercus ilex* subsp. *rotundifolia*). Es tracta d'una espècie relativament abundant al veí Parc Natural de la serra del Carrascar de la Font Roja (CONCA ET AL. 1997; GARCÍA ET AL. 2001) però a la serra de Mariola sols es té aquesta referència.

### *Tremella mesenterica* Retz ex Hook.

Codi MycoBank: MB154470

Figura 16H

**Material estudiat.** València, Bocairent, cases de l'Ansari, 30SYH0587, 740 msnm, sobre soca de *Quercus ilex* o *Q. faginea*, amb *Peniophora* sp., 3/10/2008, ACM208082, FdFCV 619.

**Observacions.** Espècie caracteritzada pels seus grossos carpòfors gelatinosos, cerebriformes de color entre groc viu i ataronjat, espores ovals, hialines, en la mostra 8–12 × 8–10 µm, creixement sobre fusta morta de planifolis, parasitant el miceli de *Peniophora* sp. (BREITENBACH & KRÄNZLIN 1986; JULICH 1989; EYSSARTIER & ROUX 2017). D'aquesta espècie trobem cites al PN de la serra de Mariola (CONCA ET AL. 1997) i a la localitat d'El Toro (MIR & ATIENZA 2009).

## DISCUSSIÓ

Amb aquest treball i les noves aportacions realitzades pels treballs del gènere *Mycena* (MARTÍNEZ 2016, 2020) i el del barrancs de la Vall d'Albaida (GARRIDO-BENAVENT & CONCA 2018), el nombre de basidiomicets determinats del Parc és de 460 front als 414 del darrer treball (CONCA ET AL. 2015). Dels 52 tàxons incorporats 21 són novetats per la micobiota valenciana i *Mycena pseudoquerciphila* ho és per la Península Ibèrica.

46 de les noves incorporacions són fongs sapròfits, 4 paràsits i, únicament, 2 simbiotes, un de *Pinus halepensis* (*Chroogomphus mediterraneus*) i un de *Quercus* (*Sarcodon cyrneus*), curiosament aquests darrers corresponen a redeterminacions de material prèviament existents. Dintre del fongs sapròfits, 24 en són lignícoles, 14 terrícoles i 1 carbonícola (*Tephrocybe anthracophila*). Dintre dels paràsits trobem tot un ventall, *Tremella mesenterica* parasita fongs del gènere *Peniophora*, *Gymnosporangium confusum* i *G. gracile* parasiten els ginebres (*Juniperus oxycedrus*) i *Serpula lacrimans* provoca un podriment blanc

de la fusta, generalment de construccions humanes, encara que nosaltres l'hem localitzat al bosc.

A continuació relacionem tots els basidiomicets presents al PN de la serra de Mariola, com es tradicional, assenyalem en negreta les novetats i amb un asterisc les que ho són pel País Valencià i, amb dos, l'espècie que representa una novetat per la Península Ibica.

*Agaricus bitorquis* (Quél.) Sacc.

*Agaricus bresadolanus* Bohus

*Agaricus campestris* L. var. *campestris*

*Agaricus cupreobrunneus* (Jul. Schäff. & Steer) Pilát,

*Agaricus essettei* Bon

*Agaricus impudicus* (Rea) Pilát

\**Agaricus litoralis* (Wakef. & A. Pearson) Pilát

*Agaricus lutosus* (F.H. Møller) F.H. Møller

*Agaricus pampeanus* Speg

*Agaricus silvaticus* Schaeff.,

*Agaricus silvicola* (Vittad.) Peck

*Agaricus semotus* Fr.

*Agaricus xanthodermus* Genev.

*Agrocybe aegerita* (Brig.) Singer

*Agrocybe pediades* (Fr.) Fayod

*Amanita citrina* var. *citrina* (Schaeff.) Pers.

*Amanita echinocephala* (Vittad.) Quél.,

*Amanita gracilior* Bas & Honrubia

*Amanita mairei* Foley

*Amanita ovoidea* (Bull. Fr.) Link

*Amanita phalloides* (Vaill. ex Fr.) Link

*Amanita proxima* Dumée

*Amanita vaginata* (Bull.: Fr.) Quélet

***Amyloporia sinuosa*** (Fr.) Rajchenb.

*Armillaria mellea* (Vahl) P. Kumm.

*Arrhenia rickenii* (Hora) Watling = *Phaeotellus rickenii* (Singer ex Hora) Bon

***Arrhenia obscurata*** (D.A. Reid) Redhead, Lutzoni, Moncalvo & Vilgalys

*Arrhenia spathulata* (Fr.) Redhead

*Astraeus hygrometricus* (Pers.) Morgan

*Atractosporocybe inornata* (Sowerby) P. Alvarado, G. Moreno & Vizzini

*Auricularia mesenterica* (Dicks.) Pers.

*Baeospora myosura* (Fr.) Singer

*Byssomerulius corium* (Pers.) Parmasto (= *Meruliopsis corium* (Pers.) Ginns )  
*Boletopsis leucomelaena* (Pers.) Fayod  
*Bovista aestivalis* (Bonord.) Demoulin  
*Butyriboletus fechtneri* (Velen.) D. Arora & J.L. Frank = *Boletus fechtneri* Velen.  
*Caloboletus radicans* (Pers.) Vizzini = *Boletus radicans* Pers.  
***Calocera cornea*** (Batsch) Fr.  
**\**Calocera furcata*** (Fr.) Fr.,  
*Cantharellus alborufescens* (Malençon) Papetti & S. Alberti  
**\**Cellulariella warnieri*** (Durieu & Mont.) Zmitr. & Malysheva,  
*Ceriporia purpurea* (Fr.) Donk  
*Chalciporus amarellus* (Quél.) Bataille  
*Chamaemyces fracidus* (Fr.) Donk  
*Chondrostereum purpureum* (Pers.) Pouzar  
***Chroogomphus mediterraneus*** (Finschow) Vila, Pérez-De-Greg. & G. Mir,  
*Clavariadelphus pistillaris* (L.) Donk  
*Clavulina cinerea* (Bull.) J. Schröt.  
*Cleistocybe carneogrisea* (Malençon) Vizzini  
*Clitocella fallax* (Quél.) Kluting, T.J. Baroni & Bergemann  
*Clitocella popinalis* (Fr.) Kluting, T.J. Baroni & Bergemann  
*Clitocybe alexandri* (Gillet) Konrad  
*Clitocybe cistophila* Bon & Contu  
*Clitocybe font-queri* R. Heim  
*Clitocybe lituus* (Fr.) Métrod  
*Clitocybe metachroa* (Fr.) P. Kumm. = *Clitocybe decembris* Singer  
*Clitocybe odora* (Bull.) P. Kumm.,  
*Clitocybe phaeophthalma* (Pers.) Kuyper  
*Clitocybe phyllophila* (Pers.) P. Kumm. = *Clitocybe cerussata* (Fr.) P. Kumm.  
*Clitocybe radicellata* Gillet  
*Clitocybe squamulosa* (Pers.) Fr.  
*Clitopilus geminus* (Paulet) Noordel. & Co-David = *Rhodocybe gemina* (Fr.)  
 Kuyper & Noordel.  
*Clitopilus hobsonii* (Berk.) P.D. Orton  
*Clitopilus prunulus* (Scop) Kummer  
*Collybia cirrhata* (Schumach.) Quél.  
*Conocybe aporos* Kits van Wav.  
*Conocybe brachypodii* (Velen.) Hauskn. & Svrček  
*Conocybe semiglobata* Kühner & Watling  
*Coprinus comatus* (O.F. Müll.) Pers.  
***Coprinellus disseminatus*** (Pers.) J.E. Lange

*Coprinellus domesticus* (Bolton) Vilgalys, Hopple & Jacq. Johnson  
*Coprinellus heptemerus* (M. Lange & A.H. Sm.) Vilgalys, Hopple & Jacq. Johnson,  
*Coprinellus micaceus* (Bull.) Vilgalys, Hopple & Jacq. Johnson  
*Coprinellus xanthothrix* (Romagn.) Vilgalys, Hopple & Jacq. Johnson  
*Coprinellus truncorum* (Scop.) Redhead, Vilgalys & Moncalvo  
*Coprinopsis marcescibilis* (Britzelm.) Örstadius & E. Larss.  
*Coprinopsis nivea* (Pers.) Redhead, Vilgalys & Moncalvo  
*Coprinopsis stercorea* (Fr.) Redhead, Vilgalys & Moncalvo,  
*Coprinopsis strossmayeri* (Schulzer) Redhead, Vilgalys & Moncalvo  
*Cortinarius aurilicis* Chevassut & Trescol  
*Cortinarius bulliardii* (Pers.) Fr.  
*Cortinarius caligatus* Malençon  
*Cortinarius catherinae* Consiglio  
*Cortinarius cedretorum* R. Maire var. *suberotorum*  
*Cortinarius confirmatus* Rob. Henry  
*Cortinarius cotoneus* Fr.  
*Cortinarius crassifolius* (Velen.) M. Bon  
*Cortinarius decipiens* var. *subturbulosus* (Kizlik & Trescol) Ortega & Mahiques  
*Cortinarius diosmus* Kühner  
*Cortinarius diosmus* Kühner var. *araneosovolvatus* M. Bon & Guagué  
*Cortinarius infractus* Berk.  
*Cortinarius ionochlorus* R. Maire  
*Cortinarius lebretonii* Quél.  
*Cortinarius leproleptopus* Chevassut & Rob. Henry  
*Cortinarius murellensis* Cors. Gut., Ballarà, J.A. Cadiñanos, Palazón & Mahiques  
*Cortinarius prasinus* (J. C. Schaeffer) Fr.  
*Cortinarius safranopes* R. Henry  
*Cortinarius saporatus* Britz  
*Cortinarius salor* Fr.  
*Cortinarius scobinaceus* Malençon & Bertault  
*Cortinarius sodagnitus* var. *parasuaveolens* M. Bon & Trescol  
*Cortinarius talus* Fr.  
*Cortinarius trivialis* J.E. Lange fo. *fuscus* (Guillet) A. Bidaud & al.  
*Cortinarius variiformis* Malençon  
*Cortinarius variiformis* Malençon var. *luteocingulatus*  
*Cortinarius venetus* (Fr.) Fr. var. *venetus*  
*Cortinarius veraprilis* Chevassut, Rob. Henry & G. Rioussset  
*Cortinarius viridocoeruleus* Chevassut & Henry  
***Crepidotus cesatii*** (Rabenh.) Sacc.

**\**Crepidotus luteolus* Sacc.**

*Crepidotus variabilis* (Pers.) P. Kumm.

*Crinipellis scabella* (Alb. & Schwein.) Murrill = *Crinipellis stipitaria* (Fr.) Pat.

***Crinipellis subtomentosa* (Peck) Singer**

*Cyathus olla* (Batsch) Pers.

*Cystodermella cinnabarina* (Alb. & Schwein.) Harmaja

*Cystodermella granulosa* (Batsch) Harmaja = *Cystoderma granulorum* (Batsch)

Fayod

*Cystolepiota cystophora* (Malençon) Bon

*Dacrymyces capitatus* Schwein.

*Dacrymyces stillatus* Nees

*Deconica coprophila* (Bull.) P. Karst. = *Psilocybe coprophila* (Bull.: Fr.) P. Kumm

*Deconica inquilina* (Fr.) Romagn. = *Psilocybe inquilina* (Fr.) Bres.

**\**Deconica micropora* (Noordel. & Verduin) Noordel.**

*Deconica montana* (Pers.) P.D. Orton = *Psilocybe montana* (Pers.) P. Kumm.

*Deconica* aff. *submaritima* (Contu & Guzmán) Noordel.

*Delicatula integrella* (Pers.: Fr.) Fayod

***Echinoderma asperum* (Pers.) Bon**

*Entoloma byssisedum* (Pers.: Fr.) Donk

*Entoloma corvinum* (Kühner) Noordel.

*Entoloma formosum* (Fr.) Noordel.

*Entoloma hebes* (Romagn.) Trimbach

*Entoloma incanum* (Fr.) Hesler

*Entoloma mougeotti* (Fr.) Hesler

*Entoloma nitens* (Velen.) Noordel.,

*Entoloma rugosum* (Malençon) Bon

*Entoloma serrulatum* (Pers.) Hesler

*Entoloma undatum* (Fr.) M.M. Moser

*Exidia pithya* (Alb. & Schwein.) Fr.

*Flammulaster carpophilus* var. *carpophilus* (Fr.) Earle

*Flammulina velutipes* (Curtis) Singer

*Fomitiporia rosmarini* (Bernicchia) Ghob.-Nejh. & Y.C. Dai = *Phellinus rosmarini*

Bernicchia

*Fomitopsis pinicola* (Swartz: Fr.) Karsten

**\**Fuscoporia ferruginosa* (Schrad.) Murrill**

*Fuscoporia torulosa* (Pers.) T. Wagner & M. Fisch. = *Phellinus torulosus* (Pers.)

Bourdot & Galzin

*Galerina badipes* (Fr.) Kühner

*Galerina graminea* (Velen.) Kühner = *Galerina laevis* (Pers.) Singer

*Galerina marginata* (Batsch) Kühner  
*Galerina vittiformis* (Fr.) Singer = *Galerina rubiginosa* var. *rubiginosa* (Pers.)  
 Kühner  
*Galerina vittiformis* var. *pachyspora* A.H. Sm. & Singer  
*Gamundia leucophylla* (Gillet) H.E. Bigelow  
*Geastrum fimbriatum* Fr.  
*Geastrum mínimum* Schwein  
*Geastrum nanum* Pers.  
*Geastrum triplex* Jungh.  
*Gloeophyllum abietinum* (Bull.) P. Karst.  
*Gymnopilus flavus* (Bres.) Singer  
*Gymnopilus junonius* (Fr.) P.D. Orton = *Gymnopilus spectabilis* var. *junonius* (Fr.)  
 Kühner & Romagn.  
*Gymnopilus penetrans* (Fr.) Murrill  
 \**Gymnosporangium confusum* Plowr.  
*Gymnosporangium gracile* Pat.  
*Gymnopus androsaceus* (L.) Della Magg. & Trassin.  
 \**Gymnopus aquosus* (Bull.) Antonín & Noordel.  
*Gymnopus dryophilus* (Bull.) Murrill  
*Gymnopus impudicus* (Fr.) Antonín, Halling & Noordel  
*Gymnopus pubipes* Antonín, A. Ortega & Esteve-Rav.  
*Gyroporus castaneus* (Bull.: Fr.) Quèlet  
*Hebeloma cistophilum* Maire  
*Hebeloma crustuliniforme* (Bull.) Quèl.  
*Hebeloma hiemale* Bres.  
*Hebeloma laterinum* (Batsch) Vesterh = *Hebeloma edurum* Métrod ex Bon  
*Hebeloma mesophaeum* var. *lacteum* Vesterh.  
*Hebeloma populinum* Romagn.  
*Hebeloma quercetorum* Quadr.  
*Hebeloma sinapizans* (Schumach.) Sacc.  
*Hemileccinum impolitum* (Fr.) šutara = *Boletus impolitus* Fr.  
*Hemimycena láctea* (Pers.: Fr.) Singer  
*Hemimycena crispula* (Quèl.) Singer  
*Hemimycena delectabilis* var. *bispora* (Kühner) Antonin  
*Hemimycena gracilis* (Quèl.) Singer  
*Henningsomyces puber* (Romell ex W.B.Cooke) D. A. Reid  
*Hericium erinaceus* (Bull.) Pers.  
*Hohenbuehelia petaloides* (Bull.) Schulzer  
*Hortiboletus engelii* (Hlaváček) Biketova & Wasser

*Hydnellum conrescens* (Pers.) Banker  
*Hydnellum ferrugineum* (Fr.: Fr.) Karsten  
*Hydnum albidum* Peck  
*Hygrocybe acutoconica* (Clem.) Singer  
*Hygrocybe conica* (Scop.) P. Kumm. var. *conica*  
*Hygrocybe virginea* var. *virginea* (Wulfen) P.D. Orton & Watling  
*Hygrophorus arbustivus* Fr.  
*Hygrophorus cossus* (Sowerby) Fr.  
*Hygrophorus latitabundus* Britzelm.  
*Hygrophorus leucophaeo-ilicis* Bon & Chevassut  
*Hygrophorus roseodiscoideus* Bon & Chevassut  
*Hygrophorus russula* (Schaeff.) Kauffman  
*Hymenogaster decorus* Tlasne & C. Tulasne  
*Hymenogaster griseus* Vittad.  
*Hymenogaster niveus* Vittad. = *H. tener* Berk. & Br.  
*Hymenogaster populetorum* Tul.  
*Hymenogaster thwaitesii* Berkeley & Broome  
*Hymenopellis radicata* (Relhan) R.H. Petersen = *Oudemansiella radicata* (Relhan) Singer  
**\*Hyphodermella corrugata** (Fr.) J. Erikss. & Ryvardeen  
*Hypholoma fasciculare* (Fr.) P. Kumm.  
*Hysterangium rickenii* Soehner  
*Hysterangium stoloniferum* L. & C. Tulasne  
*Infundibulicybe geotropa* (Bull.) Harmaja = *Clitocybe geotropa* (Bull.: Fr.) Quélet  
*Inocutis rheades* (Pers.) Fiasson & Niemelä  
*Inocybe adaequata* (Britzelm.) Sacc.  
*Inocybe bongardii* var. *bongardii* (Weinm.) Quél.  
*Inocybe calida* Velen.  
*Inocybe cervicolor* (Pers.) Quél.  
*Inocybe cincinnata* (Fr.) Quél.  
*Inocybe dulcamara* (Alb. & Schwein.) P. Kumm.  
*Inocybe flocculosa* (Berk.) Sacc.  
*Inocybe flocculosa* f. *crocifolia* (Herink) Esteve-Rav. & A. Ortega  
*Inocybe fraudans* (Britzelm.) Sacc., = *Inocybe pyriodora* sensu auct. mult.  
*Inocybe fuscidula* Velen  
*Inocybe geophylla* var. *geophylla* (Pers.) P. Kumm.  
*Inocybe geophylla* var. *lilacina* Gillet  
*Inocybe godeyi* Gillet  
*Inocybe nitidiuscula* (Britzelm.) Lapl.

*Inocybe pseudodestructa* Stangl & J. Veselský  
*Inocybe rimosa* (Bull.) P. Kumm.  
*Inocybe terrigena* (Fr.) Kühner  
*Inonotus hispidus* (Bull.) P. Karsten  
*Laccaria laccata* (Scop.) Cooke  
*Laccaria proxima* (Boud.) Pat.  
*Lachnella alboviolascens* (Alb. & Schwein.: Fr.) Fr.  
*Lacrymaria lacrymabunda* (Bull.) Pat.  
*Lactarius atlanticus* f. *strigipes* Bon  
*Lactarius chrysorrhoeus* Fr.  
*Lactarius deliciosus* (L.) Gray  
*Lactarius deliciosus* f. *rubescens* J. Aug. Schmitt  
*Lactarius ilicis* Sarnari  
*Lactarius mairei* Malençon  
*Lactarius mediterraneensis* Llistos. & Bellù  
*Lactarius sanguifluus* (Paulet) Fr.  
*Lactarius tesquorum* Malençon  
*Lactarius zonarius* f. *scrobipes* (Kühner & Romagn.) Quadr.  
*Leccinellum lepidum* (H. Bouchet ex Essette) Bresinsky & Manfr. Binder  
*Lentinellus micheneri* (Berk. & M.A. Curtis) Pegler, = *Lentinellus omphalodes* (Fr.) P. Karst.  
*Lepiota brunneoincarnata* Chodat & C. Martín  
*Lepiota castanea* Quél. = *Lepiota ignipes* Locq.  
*Lepiota clypeolaria* (Bull.) P. Kumm. = *Lepiota ochraceosulfurescens* (Locq.) Bon  
*Lepiota cristata* (Bolton) P. Kumm.  
*Lepiota cystophoroides* Joss. & Rioussset  
*Lepiota echinella* Quél. & G.E. Bernard = *Lepiota* aff. *setulosa* J.E. Lange  
*Lepiota erminea* (Fr.) P. Kumm.,  
*Lepiota forquignonii* Quél.  
*Lepiota griseovirens* Maire  
*Lepiota lilacea* Bres.  
*Lepiota oreadiformis* Velen. = *Lepiota laevigata* (J.E. Lange) J.E. Lange)  
*Lepiota pseudolilacea* Huijsman  
*Lepiota pyrochroa* Malençon  
*Lepiota subgracilis* Wasser = *Lepiota kuehneriana* Locq.  
*Lepiota subincarnata* J.E. Lange = *Lepiota josserandii* Bon & Boiffard  
*Lepiota sublaevigata* Bon & Boiffard  
*Lepiota xanthophylla* P.D. Orton  
*Lepista flaccida* (Sowerby) Pat.



*Lepista nuda* (Bull.) Cooke  
*Lepista sordida* (Fr.) Singer  
*Leucoagaricus barssii* (Zeller) Vellinga = *Leucoagaricus macrorhizus* Locq. ex Singer  
*Leucoagaricus carneifolius* (Gillet) Wasser = *Leucoagaricus densifolius* (Gillet) Babos  
*Leucoagaricus cinerascens* (Quél.) Bon & Boiffard  
**\**Leucoagaricus crystallifer*** Vellinga  
*Leucoagaricus leucothites* (Vittad.) Wasser  
*Leucoagaricus melanotrichus* var. *melanotrichus* (Malençon & Bertault) Trimbach  
*Leucoincocybe lenta* (Maire) Singer = *Clitocybula lenta* Maire (Malençon & Bertault)  
*Leucopaxillus albissimus* (Peck) Singer  
*Leucopaxillus gentianeus* (Quél.) Kotl.  
*Limacella illinita* (Fr.) Maire  
*Lycoperdon excipuliforme* (Scop.) Pers. = *Calvatia excipuliformis* Scop. (Perdeck)  
*Lycoperdon lividum* Pers.  
*Lycoperdon perlatum* Pers.  
*Lyophyllum amariuscolum* Cléménçon  
*Lyophyllum decastes* (Fr.) Singer  
*Lyophyllum fumosum* (Pers.) P.D. Orton = *Lyophyllum conglobatum* (Vittad.) M.M. Moser  
*Lyophyllum semitale* (Fr.) Kühner ex Kalamees  
*Macrocystidia cucumis* (Pers.) Joss.  
*Macrolepiota fuliginosa* (Barla) Bon = *Macrolepiota procera* var. *fuliginosa* (Barla) Bellù & Lanzoni  
*Macrolepiota mastoidea* (Fr.) Singer  
**\**Marasmiellus brevisporus*** (Maire) Contu  
***Marasmiellus phaeomarasmioides*** G. Moreno, Heykoop, Esteve-Rav. & E. Horak  
***Marasmius epodius*** Bres.  
*Marasmius epiphyllodes* (Rea) Sacc. & Trotter  
*Marasmius carpathicus* Kalchbr. = *Marasmius wynnei* Berk. & Broome  
*Marasmius quercophilus* Pouzar  
*Melanogaster variegatus* (Vittad.) Tul. & C. Tul.  
*Melanoleuca polioleuca* (Fr.) G. Moreno cf  
*Melanoleuca rasilis* (Fr.) Singer  
*Melanoleuca stridula* (Fr.) Singer  
*Melanophyllum haematospermum* (Bull.) Kreisel  
*Mycena abramsii* (Murrill) Murrill  
*Mycena acicula* (Schaeff.) P. Kumm

*Mycena adscendens* (Lasch) Maas Geest.  
***Mycena alba*** (Bres.) Kühner  
*Mycena amicta* (Fr.) Quél.,  
*Mycena arcangeliana* Bres. in Barsali  
***Mycena aurantiistipitata*** Robich & A. Gennari  
*Mycena capillaripes* Peck  
*Mycena capillaris* (Schumach.: Fr.) P. Gillet  
*Mycena citrinomarginata* Guillet  
**\**Mycena corynephora*** Maas Geest.  
*Mycena filopes* (Bull.: Fr.) P. Kumm  
*Mycena flavescens* Velen.  
*Mycena flavoalba* (Fr.) Quélet  
*Mycena galericulata* (Scop.) Gray  
***Mycena hiemalis*** (Osbeck) Quél.  
*Mycena leptcephala* (Pers.: Fr.) Gillet  
***Mycena meliigena*** (Berk. & Cooke) Sacc.  
*Mycena metata* (Fr.) Quélet  
*Mycena mirata* (Peck) Sacc.  
*Mycena olida* Bres.  
*Mycena olivaceomarginata* (Masse) Masee  
*Mycena pilosella* Maas Gestern  
*Mycena polyadelpa* (Lasch) Kühner  
***Mycena polygramma*** (Bull.) Gray  
***Mycena pseudoclavicularis*** A.H. Sm.  
***Mycena pseudopicta*** (J.E. Lange) Kühner  
**\*\**Mycena pseudoquerciphila*** Robich  
*Mycena pura* (Pers.) P. Kumm.  
*Mycena purpureofusca* (Peck) Sacc.  
*Mycena rosea* (Schumach.) Gramberg  
*Mycena rubromarginata* (Fr.) P. Kumm.,  
*Mycena sanguinolenta* (Alb. & Schwein.) P. Kumm.  
*Mycena scirpicola* M. Villareal, Heykoop, Esteve-Rav. & Maas Geest.  
*Mycena seynesii* Quél.  
*Mycena speirea* (Fr.) Gillet  
*Mycena stipata* Maas Geest. & Schwöbel  
**\**Mycena supina*** (Fr.) P. Kumm.  
*Mycena urania* (Fr.) Quél.  
*Mycena vitilis* (Fr.) Quél.  
*Mycena vulgaris* (Pers.) P. Kumm.

**\*Myxarium hyalinum** (Pers.) Donk  
*Myxomphalia maura* (Fr.) Hora  
*Odontia fibrosa* (Berk. & M.A. Curtis) Kõljalg,  
*Omphalina pyxidata* (Bull.) Quél.  
*Omphalothus olearius* (DC.: Fr.) Fayod  
*Panaeolus guttulatus* Bres.  
*Panaeolus sphinctrinus* (Fr.) Quél.  
*Parasola auricoma* (Pat.) Redhead, Vilgalys & Hopple  
*Parasola leiocephala* (P.D. Orton) Redhead, Vilgalys & Hopple  
*Peniophora quercina* (Pers.) Cooke  
**\*Perenniporia meridionalis** Decock & Stalpers  
**Phaeoclavulina curta** (Fr.) Giachini  
**\*Phaeoclavulina quercus-ilicis** (Schild) Giachini  
*Phaeogalera dissimulans* (Berk. & Broome) Holec = *Phaeogalera oedipus* (Cooke) Romagn.  
**Phaeomarasmius erinaceus** (Fr.) Scherff. ex Romagn.  
*Phaeomarasmius rimulincola* (Rabenh.) P.D. Orton  
*Phallus impudicus* L.  
*Phellodon niger* (Fr.) P. Karst.  
*Pholiota gummosa* (Lasch) Singer  
*Pholiota highlandensis* (Peck) A.H. Sm. & Hesler  
*Pholiota lucifera* (Lasch) Quél.  
*Pholiotina aporos* (Kits van Wav.) Cléménçon  
*Pholiotina vexans* (P.D. Orton) Bon  
*Pisolithus arhizus* (Scop.) S. Rauschert  
*Pleurotus dryinus* (Pers.) P. Kumm.  
*Pleurotus eryngii* (DC.) Gillet  
*Pleurotus ostreatus* (Jacq.: Fr.) P. Kummer  
*Pluteus atromarginatus* (Konrad) Kühner  
**Pluteus cervinus** (Schaeff.) P. Kumm.  
*Pluteus ephebeus* (Fr.) Gillet = *Pluteus murinus* Bres.  
*Pluteus olivaceus* P.D. Orton,  
*Pluteus plautus* (Weinm.) Gillet  
*Pluteus pouzarianus* var. *albus* Bonnard  
*Pluteus romellii* (Britzelm.) Lapl.  
*Polyporus meridionalis* (A. David) H. Jahn  
*Polyporus squamosus* (Huds.) Fr.  
*Porostereum spadiceum* (Pers.) Hjortstam & Ryvarde  
*Postia stiptica* (Pers.) Jülich = *Spongiporus stipticus* (Pers.) A. David

*Psathyrella bipellis* (Quél.) A.H. Sm.  
*Psathyrella candolleana* (Fr.) Maire  
*Psathyrella conopilus* (Fr.) A. Pearson & Dennis  
*Psathyrella melanthina* (Fr.) Kits van Wav.  
*Psathyrella variata* A.H. Sm.  
*Pseudoclitocybe expallens* (Pers.) M.M. Moser  
*Pterula multifida* E. P. Fr.: Fr.  
***Radulomyces confluens*** (Fr.) M.P. Christ.,  
*Ramaria abietina* (Pers.) Quél.  
***Ramaria gracilis*** (Pers.) Quél.  
*Ramaria ochracea* (Bres.) Corner  
*Resupinatus trichotis* (Pers.) Singer  
*Rheubarbariboletus persicolor* (H. Engel, Klofac, H. Grünert & R. Grünert) Vizzini,  
 Simonini & Gelardi  
*Rhizopogon occidentalis* Zeller & C. W. Dodge  
*Rhizopogon roseolus* (Corda) Th. Fr.  
*Rhodocollybia butyracea* (Bull.) Lennox  
*Rickenella fibula* (Bull.) Raithelh.  
*Ripartites tricholoma* (Alb. & Schwein.) P. Karst. = *Ripartites helomorpha* (Fr.) P.  
 Karst.  
***Roridomyces roridus*** (Fr.) Rexer  
*Rubroboletus lupinus* (Fr.) Costanzo, Gelardi, Simonini & Vizzini = *Boletus*  
*lupinus* Fr.  
*Rubroboletus satanas* (Lenz) Kuan Zhao & Zhu L. Yang = *Boletus satanas* Lenz  
*Russula anatina* Romagn  
*Russula acrifolia* Romagn.  
*Russula chloroides* (Krombh.) Bres.  
*Russula delica* var. *delica* Fr.  
*Russula ilicis* Romagn., Chevassut & Pirivat  
*Russula insignis* Quél.  
*Russula maculata* Quél. & Roze  
*Russula parodorata* Sarnari  
*Russula persicina* Krombh.  
*Russula pseudoaeruginea* (Romagn.) Kuyper & Vuure  
*Russula torulosa* Bres.  
 \****Saproamanita vittadinii*** (Moretti) Redhead, Vizzini, Drehmel & Contu  
*Sarcodon scabrosus* (Fr.) P. Karst.  
 \****Serpula lacrymans*** (Wulfen) J. Schröt.,  
*Schizophyllum amplum* (Lév.) Nakasone

*Schizophyllum commune* Fr.  
*Scleroderma areolatum* Ehrenb  
*Scleroderma cepa* Pers  
*Scleroderma verrucosum* (Bull.: Pers.) Pers.  
**\*Scytinostroma alutum** Lanq.  
*Simocybe haustellaris* (Fr.) Watling = *Simocybe rubi* (Berk.) Singer  
*Sphaerobolus stellatus* Tode: Pers.  
*Steccherinum fimbriatum* (Pers.) J. Erikss.  
*Steccherinum ochraceum* (Pers.) Gray  
**\*Steccherinum oreophilum** Lindsey & Gilb.  
*Stereum hirsutum* (Willd.) Pers.  
*Stereum sanguinolentum* (Alb. & Schwein.) Fr.  
*Stropharia aeruginosa* (Curtis) Quél.  
*Stropharia coronilla* (Bull.) Quél.  
*Suillellus comptus* (Simonini) Vizzini, Simonini & Gelardi = *Boletus comptus*  
Simonini  
*Suillellus luridus* (Schaeff.) Murrill *Boletus luridus* Schaeff.  
*Suillus bellinii* (Inzenga) Watling  
*Suillus collinitus* (Fr.) Kuntze  
*Suillus mediterraneensis* (Jacquet. & J. Blum) Redeuilh  
*Tapinella atrotomentosa* (Batsch) Šutara  
*Tapinella panuoides* (Batsch) E.-J. Gilbert  
***Tephrocycbe anthracophila*** (Lasch) P.D. Orton  
***Terana coerulea*** (Lam.) Kuntze  
*Thelephora terrestris* Ehrh.  
*Trametes ochracea* (Pers.) Gilb. & Ryvarden  
*Trametes trogii* Berk.  
*Trametes versicolor* (L.) Lloyd = *Coriolus versicolor* (L.) Quél.  
***Tremella mesenterica*** Retz ex Hook  
*Trichaptum fuscoviolaceum* (Ehrenb.) Ryvarden  
*Tricholoma aurantium* (Schaeff.) Ricken  
*Tricholoma caligatum* (Viv.) Ricken  
***Tricholoma concolor*** (Delile) P.-A. Moreau, Bellanger & Courtec.  
*Tricholoma equestre* (L.) P. Kumm.  
*Tricholoma fracticum* (Britzelm) Kreisel  
*Tricholoma orirubens* Quél.  
*Tricholoma saponaceum* (Fr.) P. Kumm.  
*Tricholoma scalpturatum* (Fr.) Quél.  
*Tricholoma sejunctum* (Sowerby) Quél.

*Tricholoma sulphurescens* Bres.  
*Tricholoma terreum* (Schaeff.) P. Kumm.  
*Tricholomopsis rutilans* (Schaeff.) Singer  
*Tubaria cistophila* Cheype  
*Tubaria furfuracea* (Pers.) Gillet  
*Tubaria romagnesiana* Arnolds  
*Tulostoma brumale* Pers.  
*Typhula crassipes* Fuckel  
*Typhula setipes* (Grèv) Berthier  
*Volvariella bombycina* (Schaeff.) Singer  
*Volvariella gloiocephala* (DC.) Boekhout & Enderle  
*Volvariella murinella* (Quél.) Court,  
*Wakefeldia macrospora* (Hawk.) Hawk.  
*Xerocomellus chrysenteron* (Bull.) Šutara  
*Xerocomus subtomentosus* (L.) Quél.  
*Xeromphalina caudicinalis* (With.) Kühner & Maire

## AGRAÏMENTS

La determinació de la majoria d'espècies dels antics membres de la família *Corticiaceae s.l.*, no hauria estat possible sense la col·laboració activa d'alguns membres de Micolist, especialment de Miquel Àngel Pérez-de-Gregorio, Jesús Riezu, Ibai Olarriaga, Enrique Vera, José Luis Egeda... A Miquel Vives i Julia Molina del centre de informació del Parc Natural de la serra de Mariola, per la seua sempre valuosa col·laboració. A la Generalitat Valenciana i al director del PN de la serra de Mariola, per les facilitats donades per moure'ns en cotxe per les pistes tancades. A la meua dona Mercé Micó, companya de moltes excursions i autora d'algunes troballes interessants. També hem compartit excursions i troballes amb: Carme Cabanes, Angel Carballo, Toni Conca Micó, Lluís Conca, Fernando García, Rosa Ruiz, Artur Royo, Dolors Sampio i Maria Ten. Un especial record per Miguel Oltra (*in memoriam*) que va compartir nombroses eixides per la serra de Mariola, la seua darrera excursió, el 10 de desembre de 2016, fou especialment fructífera pels basidiomicets i, cosa rara, magra pels mixomicets. A Dolors Sampio, per la revisió lingüística del text, les errades del qual únicament són atribuïdes als autors.

## BIBLIOGRAFIA

ANTONIN, V & NOORDERLOOS, M.E. (2010). *A monograph of marasmioid and collybioid fungi in Europe*. IHW-Verlag. Eching.

- ANTONINI, D. & ANTONINI, M. (2002). Macromiceti nuovi, rari o espezifici della regione mediterranea. *Fungi non Delineati* **22**:1-72.
- BURGUETE, A. (1995). Contribución al estudio de los hongos de la Sierra de Espadan (Castellón). *Butlletí de la Societat Micològica Valenciana* **1**: 99-109.
- BERNICCHIA, A. & GORJÓN, S. P. (2010). *Corticaceae s.l. Fungi Europaei* **12**. Edizione Candusso. Italia.
- BERNICCHIA, A. & GORJÓN, S. P. (2020). *Polypores of the Mediterranean Region*. Ed. Romar.
- BON, M. (1993). Les Lepiotes. *Flore Mycologique d'Europe*. **3**. Documents Mycologiques Mémoire hors série **3**. E. Association d'Ecologia et de Mycologie. Lille.
- BON, M. (1997). Les clitocybes, omphales et ressemblants *Flore Mycologique d'Europe*. **4**. Documents Mycologiques. Mémoire hors série **4**. E. Association d'Ecologia et de Mycologie. Lille.
- BON, M. (1999). Les Collybio-Marasmioides et ressemblants. *Flore Mycologique d'Europe*. **5**. Documents Mycologiques. Mémoire hors série **5**. E. Association d'Ecologia et de Mycologie. Lille.
- BREITENBACH, J. & KRÄNZLIN, F. (1986). *Champignons de Suisse*. T. 2 Champignons sans lames. Hétérobasidiomycetes Aphyllophorales Gasteromyetes. Ed. Mykologia. Lucerne.
- BREITENBACH, J. & KRÄNZLIN, F. (2000). *Champignons de Suisse*. T. 5. Cortinariaceae. Ed. Mykologia. Lucerne.
- CABALLERO, A. (2000). *Lepiotaceae*. Flora Micologica de la Rioja **1**. Versión 2. CDR. Ed. A. Caballero.
- CABALLERO, A. (2012). *Leucoagaricus erioderma* una especie rara y poco citada. *Boletín Micológico FAMCAL* **7**: 75-78.
- CANDUSSO, M & LANZONI, G. (1990). *Lepiota* s.l. *Fungi Europaei*, **4**. Libreria Editrice Giovanna Biella. Saronno. Italia.
- CONCA, A., GARCÍA, F., MARTINEZ, F. DE P., & MAHIQUES, R. (1997). Basidiomicets del carrascar de la Font Roja. *Butlletí de la Societat Micològica Valenciana* **3**:177-222.
- CONCA, A., GARCÍA, F., MARTINEZ, F. DE P. & MAHIQUES, R. (2003). Basidiomicets del carrascar de la Font Roja. *Butlletí de la Societat Micològica Valenciana* **8**: 159-200.
- CONCA, A., GARCÍA, F., MARTINEZ, F. DE P., & MAHIQUES, R. (2004). Basidiomicets del Parc Natural de la serra de Mariola (I). *Butlletí de la Societat Micològica Valenciana* **9**: 291-344.
- CONCA, A., ORMAD, J. & GARCÍA, F. (2010). Basidiomicets nous per la Devesa de l'Albufera (València). *Butlletí de la Societat Micològica Valenciana* **15**:101-153.
- CONCA, A., ORMAD, J. & GARCÍA, F. (2011). Basidiomicets nous per la Devesa de l'Albufera (València) II. *Butlletí de la Societat Micològica Valenciana* **16**:177-227.
- CONCA, A., ORMAD, J., GARCÍA, F., & MARTÍNEZ TOLOSA, F. DE P. (2014). Basidiomicets nous per la Devesa de l'Albufera (València) III. *Butlletí de la Societat Micològica Valenciana* **19**:143-172

- CONCA, A., GARCÍA, F., MARTINEZ, F. DE P., & MAHIQUES, R. (2015). Basidiomicets del Parc Natural de la serra de Mariola (II). *Butlletí de la Societat Micològica Valenciana* 20:47-172.
- CONCA, A., GARCÍA, F. & MAHIQUES, R. (2020). Basidiomicets del Parc natural del Carrascar de la Font Roja (l'Alcoià, Alacant) III. *Butlletí de la Societat Micològica Valenciana* 24: 9-117.
- Contu, M. & L. Currelli (1991, pubbl. 1992). Su alcuni basidiomiceti esotici in Sardegna. *Micologia Vegetazione Mediterranea* 6:139-145.
- CONSIGLIO, G. & SETTI L. (2008). *Il Genere Crepidotus in Europa*. A.M.B. Fondazione Centro Studi Micologici. Vicenza.
- DANIËLS, P.P. IN RAYA, L. & MORENO B. (2018). [www.juntadeandalucia.es/medioambiente/portal\\_web/web/servicios/centro\\_de\\_documentacion\\_y\\_biblioteca/fondo\\_editorial\\_digital/documentos\\_tecnicos/Flora\\_micolologica/fmaunif.pdf](http://www.juntadeandalucia.es/medioambiente/portal_web/web/servicios/centro_de_documentacion_y_biblioteca/fondo_editorial_digital/documentos_tecnicos/Flora_micolologica/fmaunif.pdf). Flora Micológica de Andalucía. Consejería de Medio Ambiente y Ordenación del Territorio, Junta de Andalucía, Sevilla
- DANIËLS, P.P. & TELLERIA, M. T. (2007). Notas sobre el Orden *Gomphales*: táxones de Castilla y León. *Boletín Micológico de FAMCAL* 2: 23-38.
- EYSSARTIER, G. & ROUX, P. (2017). *Le guide des champignons France et Europe*. Ed Belin. Paris.
- FERNÁNDEZ J. L. & ALVARADO, P. (2016). Primeras secuencias de ADN de *Gymnoporangium amelanichieris* y *G. gracile*. *Boletín Sociedad Micológica de Madrid* 40: 105-119.
- FERNÁNDEZ J. L. (2018). Claves de identificación de *Gymnosporangium* de España y Europa. *Boletín Sociedad Micológica de Madrid* 42: 79-90.
- GARCÍA, F., CONCA, A. & MAHIQUES, R. (2001). *Bolets del Parc Natural del Carrascar de la Font Roja*. Ed. CAM. Obres Socials. Alcoi.
- GARRIDO-BENAVENT, I., GARCÍA, F., MAHIQUES, R., CATALÀ, S. & CONCA, A. (2012). Diversidad micológica en los barrancos de la comarca de la Vall d'Albaida (Valencia). *Butlletí de la Societat Micològica Valenciana* 17: 167-232.
- GARRIDO-BENAVENT, I & CONCA, A. (2018). Diversidad Micológica de los barrancos de la comarca de la Vall d'Albaida (València) (II). *Butlletí de la Societat Micològica Valenciana* 23: 75-105.
- INDEX FUNGORUM (s.d.). <http://www.indexfungorum.org/> [consultada durant els anys 2020-2021]
- JULICH, W (1989). *Guida allà determinazione dei funghi. Vol. 2 Aphyllophorales, Heterobasidiomycetes, Gastromycetes*. Ed Saturnia. Trento.
- LÆSSØE, T. & PETERSEN, J. H. (2019). *Fungi of Temperate Europe*. Princenton University Press. Princeton.
- MALENÇON, G. & BERTAULT, R. (1971). Champignons de la Peninsule Iberique. I, II, II. *Acta Phytotaxonomica Barcinonensis* 8: 6-67.



- MALENÇON, G. & BERTAULT, R. (1975). Flore des Champignons superieurs du Maroc. Tome II. *Travaux de l'Institut. Scientifique Chérifien et de la faculte des Sciences de Rabat. Série botanique et biologie* 33: 1-540. Centre National de la Recherche scientifique. Rabat.
- MARCHAND, A. (1976). *Champignons du nord et du midi. vol. 4*. Ed. Société Mycologique des Pyrénées Méditerranéennes. Perpignan.
- MARTÍN, M.P., SIQUIER, J.L., SALOM, J.C., TELLERIA, M.T. & FINSCHOW, G. (2016). Barcoding sequences clearly separates *Chroogomphus mediterraneus* (Gomphidaceae, Boletales) from *C. rutilus* and allies species. *Mycoscience* 57: 384-392.
- MARTÍNEZ, F. DE P. (2002). Flora micològica dels bancals de tarongers. *Butlletí de la Societat Micològica Valenciana* 7: 267-274.
- MARTÍNEZ, F. DE P. (2013). Gènere *Mycena* al País Valencià I. *Butlletí de la Societat Micològica Valenciana* 18: 17-28.
- MARTÍNEZ, F. DE P. (2016). Incorporació de nous tàxons del gènere *Mycena* de la serra Mariola. *Butlletí de la Societat Micològica Valenciana* 21: 77-85.
- MARTÍNEZ, F. DE P. (2017). *Mycena pseudoclavicularis* A. H. Sm. *Butlletí de la Societat Micològica Valenciana* 22: 85-89.
- MARTÍNEZ, F. DE P. (2020). Revisió i noves aportacions de tàxons del gènere *Mycena* (Pers.) Roussel a la serra de Mariola i al Massís de Penyagolosa. *Butlletí de la Societat Micològica Valenciana* 24: 131-150.
- MIR, C. & ATIENZA, V. (2009). Primera aproximació als fongs de ""El Toro"" (Castelló, est d'Espanya). *Butlletí de la Societat Micològica Valenciana* 14: 325-348.
- MIR, G., MELLIS, J.L. & MASCARÓ, C. (2016). *Guia dels bolets de Menorca*. Maó. Consell Insular de Menorca. Agència Menorca Reserva de la Biosfera: Institut menorquí d'Estudis. Bolets de Menorca.
- MOREAU P.A. in MAIRE, J.C., MOREAU P.A. & ROBICH, G. (2009). *Compléments à la Flore des Champignons supérieurs du Maroc de G. Malençon et R. Bertault*. Confédération Européenne de Mycologie Méditerranéenne. Nice.
- MORENO, G., GARCÍA, J.L., & ZUGAZA, A. (1986). *La guía Incafo de los Hongos de la Península Ibérica*. Ed Incafo. Madrid.
- MURRILL, WA (1907). *Polyporaceae, Part I. North American Flora* 9: 1-72.
- MYCOBANK (s.d.). <https://www.MYCOBANK.org> [consultada durant l'any 2021].
- NEVILLE, P. & POUMARAT, S. (2004). *Amaniteae Amanita, Limacella & Torrendia. Fungi Europaei*, 9. Ed Candusso. Alassio.
- NOORDERLOOS, M.E. (2011). *Strophariaceae s.l. Fungi Europaei*, 13. Edizione Candusso. Alassio. Italia.
- PALAZON LOZANO, F. (2001). *Setas para todos*. Ed Pirineo. Huesca.
- PANCORBO, F., RIBES, M.A., CAMPOS, J.C., Sánchez, G., MATEO, J.F., ZAMORA, J.C., MERINO, D., ILLESCAS, T., Mérida, E., BECERRA, M., ROBLES, E. & Pérez de Gregorio, M.A.

- (2013). Estudio de la micobiota de los sistemas dunares de la Península Ibérica e Islas Baleares I. *Boletín. Sociedad. Micológica de Madrid* **37**: 175-201.
- PARRA, L. A. (2013). *Agaricus* L. *Allopsalliota* Nauta & Bas, *Fungi Europaei*, 1A. Candusso edizione. Alassio. Italia.
- PÉREZ DE GREGORIO, M.A. & CARBÓ, J. (2001). *Amanita codinae* en Bolets de Catalunya XX Col·lecció. Ed. Societat Catalana de Micologia. Barcelona
- PÉREZ DE GREGORIO, M.A. (2007). *Lenzites warneri* en Bolets de Catalunya XXVI Col·lecció. Ed. Societat Catalana de Micologia. Barcelona
- PÉREZ DE GREGORIO, M.A. & LÓPEZ, E. (2019). *Marasmiellus brevisporus* (Maire) Contu, en la Península Ibérica. *Errotari* **16**: 91-96.
- REDHEAD, S.A., VIZZINI, A., DREHMEL, D.C. & CONTU, M. (2016). *Saproamanita*, a new name for both *Lepidella* E.-J. Gilbert and *Aspidella* E.-J. Gilbert (*Amaniteae*, *Amanitaceae*). *IMA Fungus* **7**: 119–129.
- RUBIO, E. (2019). *Myxarium hyalinum* (Pers.) Donk. Centro de Estudios Micológicos Asturianos. <http://www.centrodeestudiosmicologicosasturianos.org/?p=15681>
- RYVARDEN, L in HANSEN L, & KNUDSEN H (1997). *Nordic macromycetes. Vol 3. Heterobasidioid. Aphyllophoroid and Gastromycetoid Basidiomycetes*. Nordsvamp. Copenhagen.
- RYVARDEN, L. & MELO, I. (2017). *Poroid fungi of Europe*. 2nd edition. Synopsis Fungorum 37. Fungiflora. Oslo.
- SIQUIER, J. LL. & CONSTANTINO, C. (2008). *Els Bolets de les Balears*. Vol. 2. Ed. Micobalea. Soller.
- SIQUIER, J. L., SALOM, J.C., FINSCHOW, G. & MATÍN, M.P. (2016). Variabilidad y distribución de *Chroogomphus mediterraneus* en las Islas Baleares y la Península Ibérica. *Revista de Micologia* **59**(3): 249-270.
- SPIRIN, V., MALYSHEVA, V. AND LARSSON, K.-H. (2018). On some forgotten species of *Exidia* and *Myxarium* (*Auriculariales*, *Basidiomycota*). *Nordic Journal of Botany* e01601
- TORREJÓN, M. (2002). Contribución al estudio de la flora micológica del Desert de les Palmes (Castelló). *Revista Catalana Micologia* **24**: 5-16.
- TORREJÓN, M. (2004). Contribución al estudio de la flora micológica del Desert de les Palmes (Castelló) III. *Revista Catalana Micologia* **26**: 117-135.
- TORREJÓN, M. (2004). Contribución al estudio de la flora micológica del Desert de les Palmes (Castelló) IV. *Revista Catalana Micologia* **27**: 99-114.
- ULJÉ, C.B. in NOORDERLOOS, M.E., KUYPER, TH.W. & VELLINGA E.C. (2005). *Coprinus* Pers in *Flora Agaricina Neerlandica* **6**: 22-109.
- VELLINGA, E. in NOORDERLOOS, M.E., KUYPER, TH.W. & VELLINGA E.C. (2001). *Lepiota* (Pers.: Fr.) S.F. Gray i *Leucoagaricus* Locq. ex Singer in *Flora Agaricina Neerlandica*, **5**:109-153, 85-108.